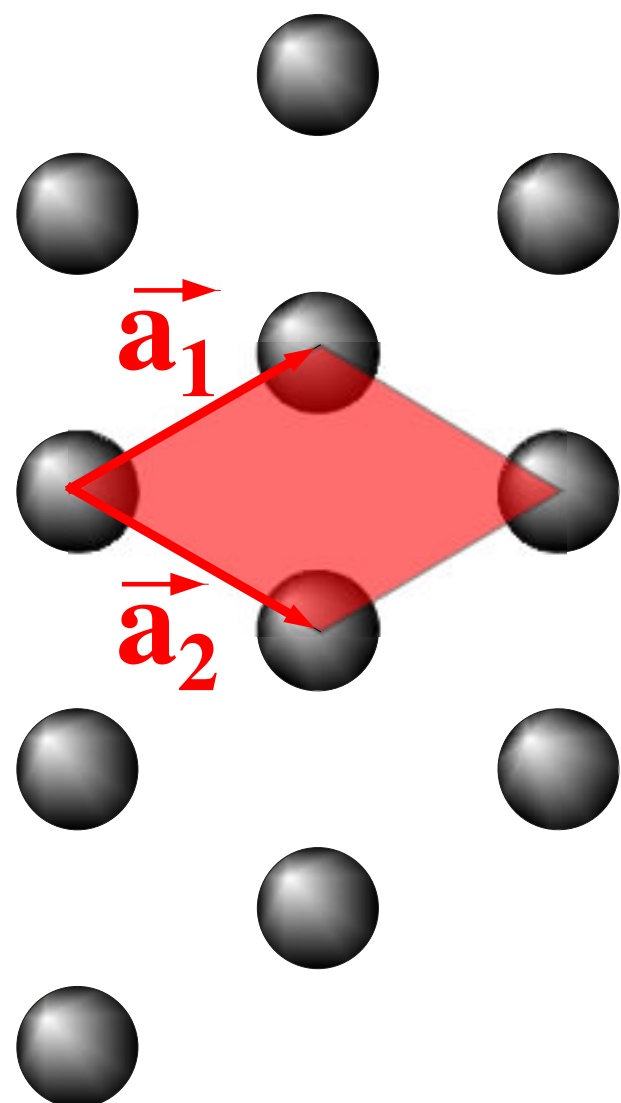


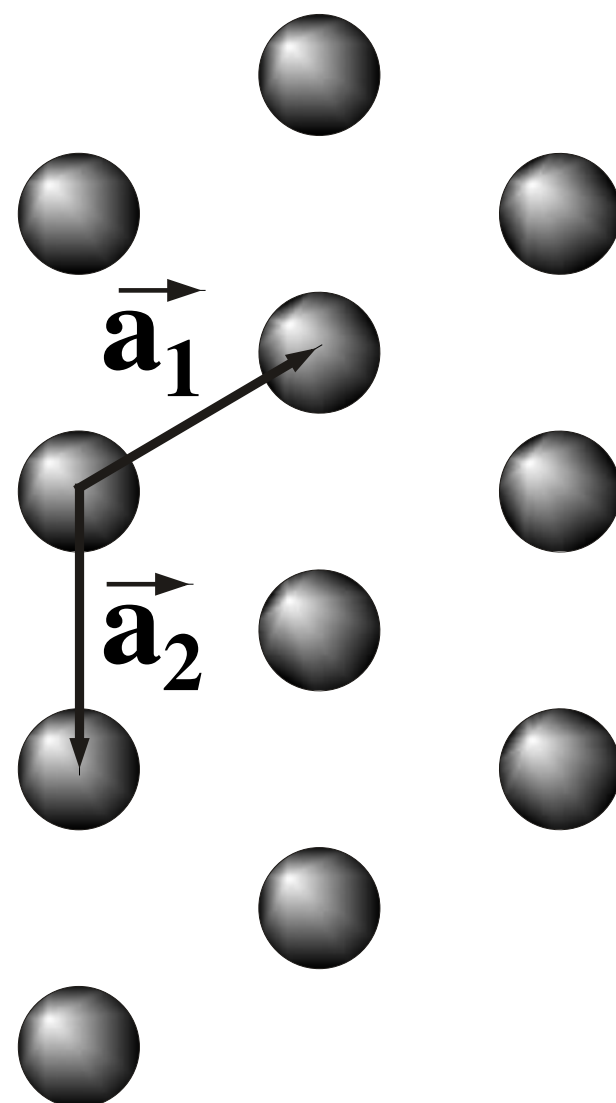
# Wahl der Einheitszelle

---

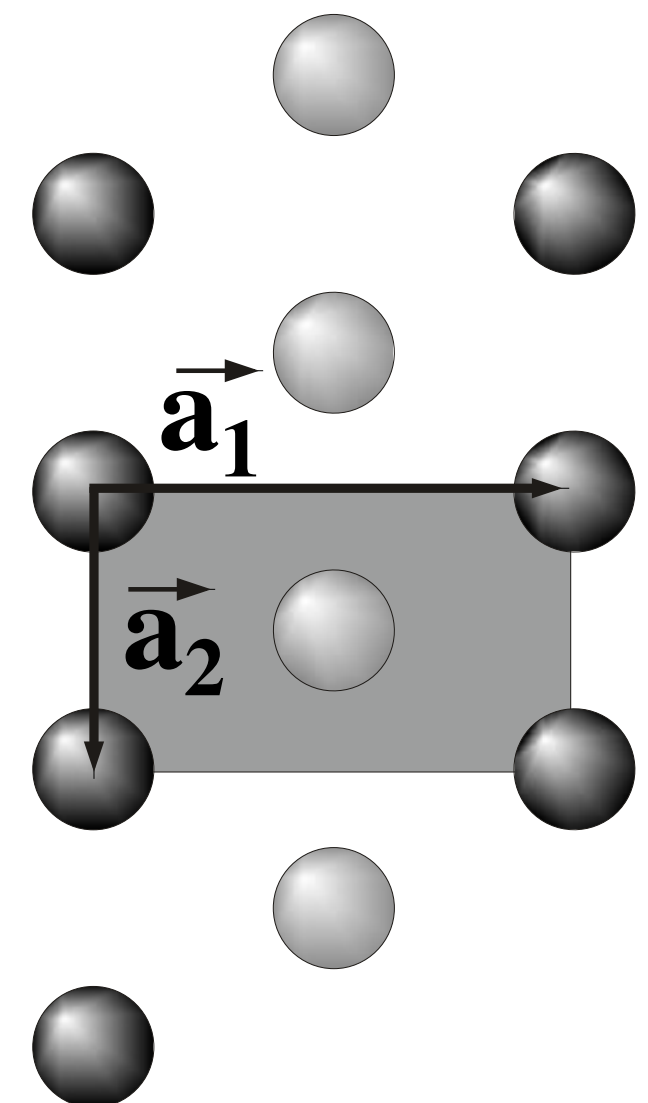
primitiv 1



primitiv 2



nicht primitiv



# Punktsymmetrieklassen

Tabelle 3.1. Die 32 Punktsymmetrieklassen, geordnet nach den erzeugenden Symmetrieelementen

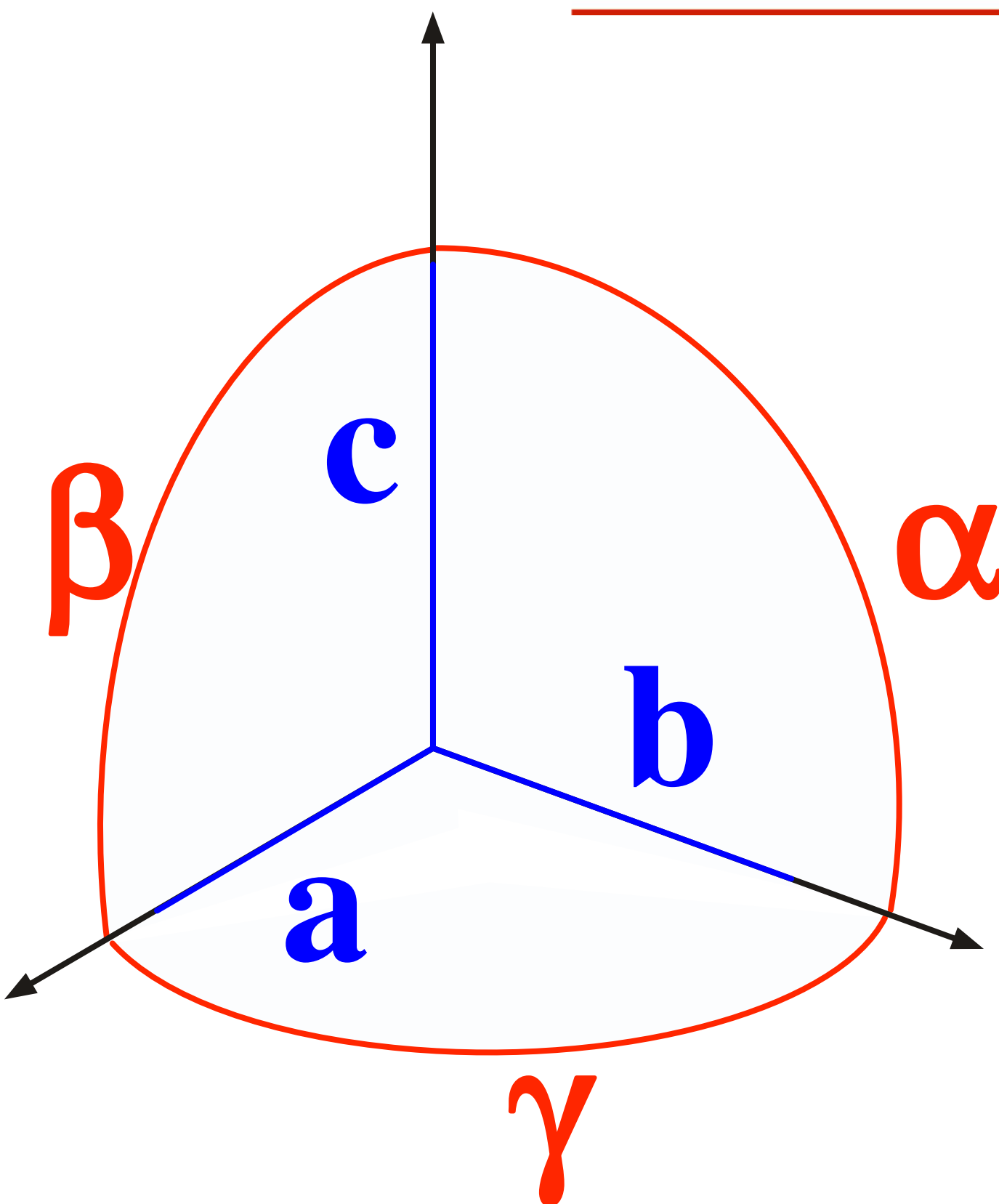
Nr.	Symbol nach Schönflies	Symbol nach Hermann-Mauguin	Erzeugende Symmetrieelemente unter Verwendung von Inversionsachsen	$\Omega$	Kristallsystem (Ziffer 3.3)	
			Spiegel-ebenen			
1	$C_1$	1	$A_1^z$	1	triklin	
2	$C_2$	2	$A_2^z$	2	monoklin	
3	$C_3$	3	$A_3^z$	3	trigonal	
4	$C_4$	4	$A_4^z$	4	tetragonal	
5	$C_6$	6	$A_6^z$	6	hexagonal	
6	$S_1 \equiv C_{\bar{a}}$	$\bar{1}$	$I_1^z = Z$	2	triklin	
7	$S_2 \equiv C_{\bar{a}5}$	$m$	$I_2^z$	2	monoklin	
8	$S_3 \equiv C_{\bar{3}1}$	$\bar{3}$	$I_3^z = A_3^z + Z$	6	trigonal	
9	$S_4$	$\bar{4}$	$I_4^z$	4	tetragonal	
10	$S_6 \equiv C_{\bar{3}h}$	$\bar{6}$	$I_6^z$	6	hexagonal	
11	$D_2 \equiv V$	222	$A_2^z + A_2^y$	4	orthorhomb.	
12	$D_3$	32	$A_3^z + A_2^y$	6	trigonal	
13	$D_4$	42	$A_4^z + A_2^y$	8	tetragonal	
14	$D_6$	622	$A_6^z + A_2^y$	12	hexagonal	
15	$C_{2v}$	$mm\bar{2}$	$A_2^z + I_2^y$	$A_2^z + \sigma_v$	4	orthorhomb.
16	$C_{3v}$	$3m$	$A_3^z + I_2^y$	$A_3^z + \sigma_v$	6	trigonal
17	$C_{4v}$	$4mm$	$A_4^z + I_2^y$	$A_4^z + \sigma_v$	8	tetragonal
18	$C_{6v}$	$6mm$	$A_6^z + I_2^y$	$A_6^z + \sigma_v$	12	hexagonal

19	$D_{3d}$	$\bar{3} m$	$I_3^z + A_2^y \equiv A_3^z + A_2^y + Z$		12	trigonal
20	$D_{2d} \equiv V_d$	$\bar{4} 2 m$	$I_4^z + A_2^y$		8	tetragonal
21	$D_{3h}$	$\bar{6} 2 m$	$I_6^z + A_2^y = I_6^z + I_2^y$		12	hexagonal
22	$C_{2h}$	$2/m$	$A_2^z + Z$	$A_2^z + \sigma_z$	4	monoklin
23	$C_{4h}$	$4/m$	$A_4^z + Z$	$A_4^z + \sigma_z$	8	tetragonal
24	$C_{6h}$	$6/m$	$A_6^z + Z$	$A_6^z + \sigma_z$	12	hexagonal
25	$D_{2h} \equiv V_h$	$m m m$	$A_2^z + A_2^y + Z$		8	orthorhomb.
26	$D_{4h}$	$4 m m m$	$A_4^z + A_2^y + Z$		16	tetragonal
27	$D_{6h}$	$6/m m m$	$A_6^z + A_2^y + Z$		24	hexagonal
28	$T$	$23$	$A_3^{\text{kub}} + A_2^z$		12	kubisch
29	$O$	$432$	$A_3^{\text{kub}} + A_4^z$		24	kubisch
30	$T_d$	$\bar{4} 3 m$	$A_3^{\text{kub}} + I_4^z$		24	kubisch
31	$T_h$	$m\bar{3}$	$A_3^{\text{kub}} + A_2^z + Z$		24	kubisch
32	$O_h$	$m\bar{3}m$	$A_3^{\text{kub}} + A_4^z + Z$		48	kubisch

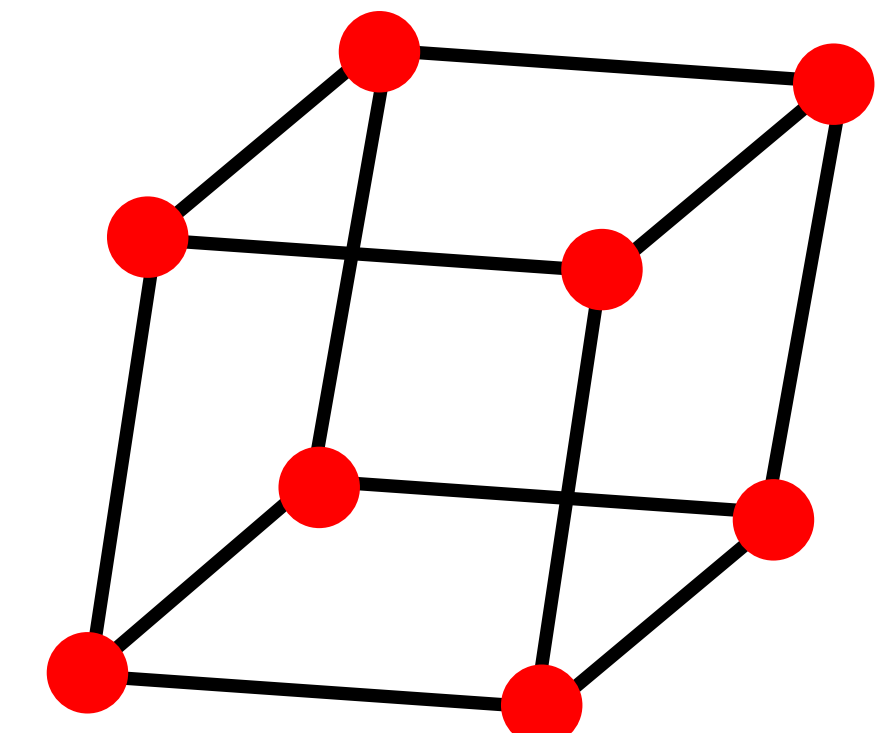
Symbolen:

- $A_p^z, A_p^x, A_p^y$ :  $p$ -zählige Deckachsen in  $z, x, y$ -Richtung
- $I_p^z, I_p^x, I_p^y$ :  $p$ -zählige Inversionsachsen in  $z, x, y$ -Richtung
- $A_3^{\text{kub}}$ : dreizählige Deckachse in Richtung der Raumdiagonalen
- $Z = i$ : Inversionszentrum
- $\sigma_z$ : Spiegelebene  $\perp z$
- $\sigma_v$ : (vertikale) Spiegelebene durch  $z$
- $1, 2, 3, \dots p$ :  $p$ -zählige Deckachse
- $\bar{1}, \bar{2}, \dots \bar{p}$ :  $p$ -zählige Inversionsachse
- $m$ : Spiegelebene
- $p/m$ :  $p$ -zählige Deckachse und Spiegelebene  $\perp$  dazu

# Einheitszelle quantitativ

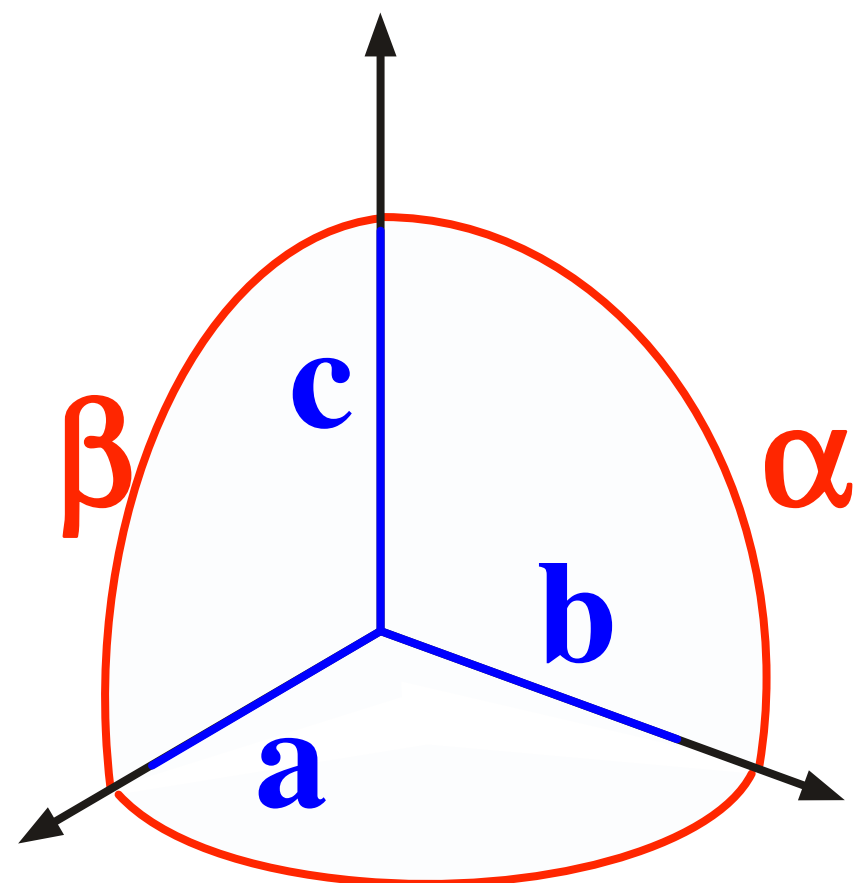


allgemeinster Fall:  
Triklin

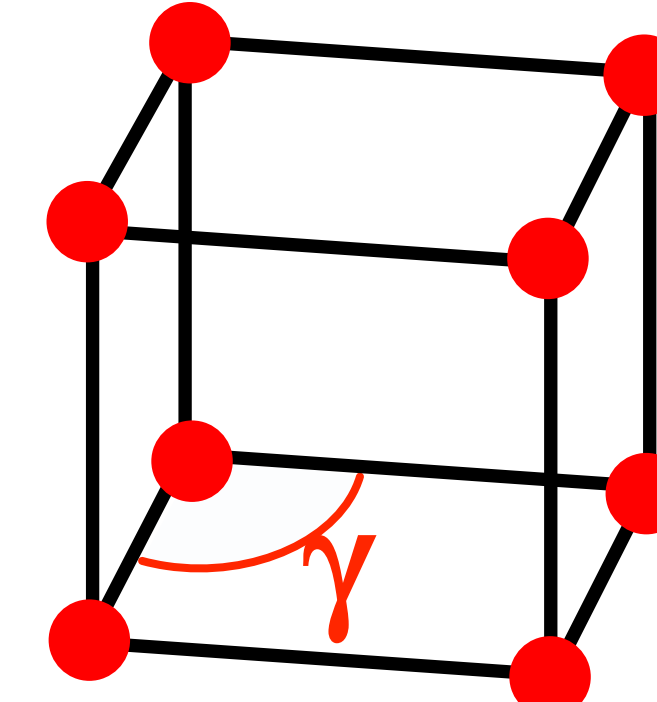


$$a \neq b \neq c, \alpha \neq \beta \neq \gamma$$

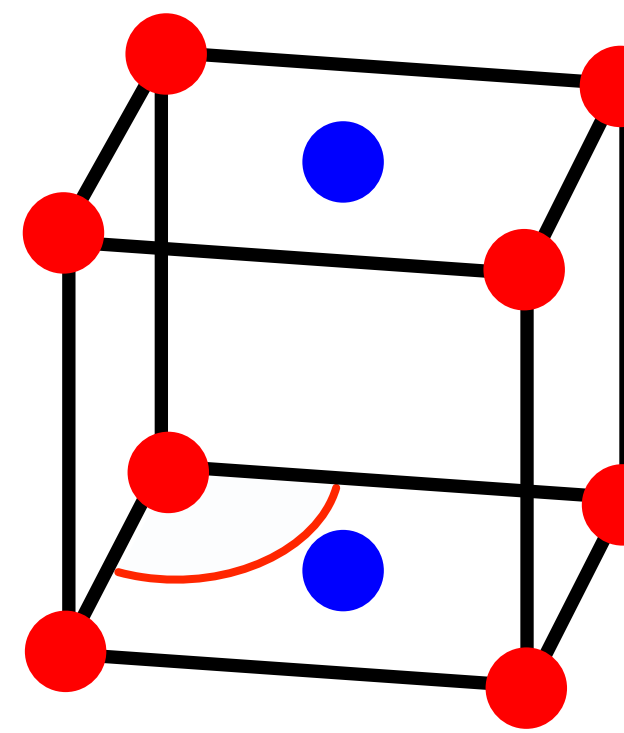
# Monoklines Kristallsystem



$a \neq b \neq c,$   
 $\alpha = \beta = 90^\circ \neq \gamma$

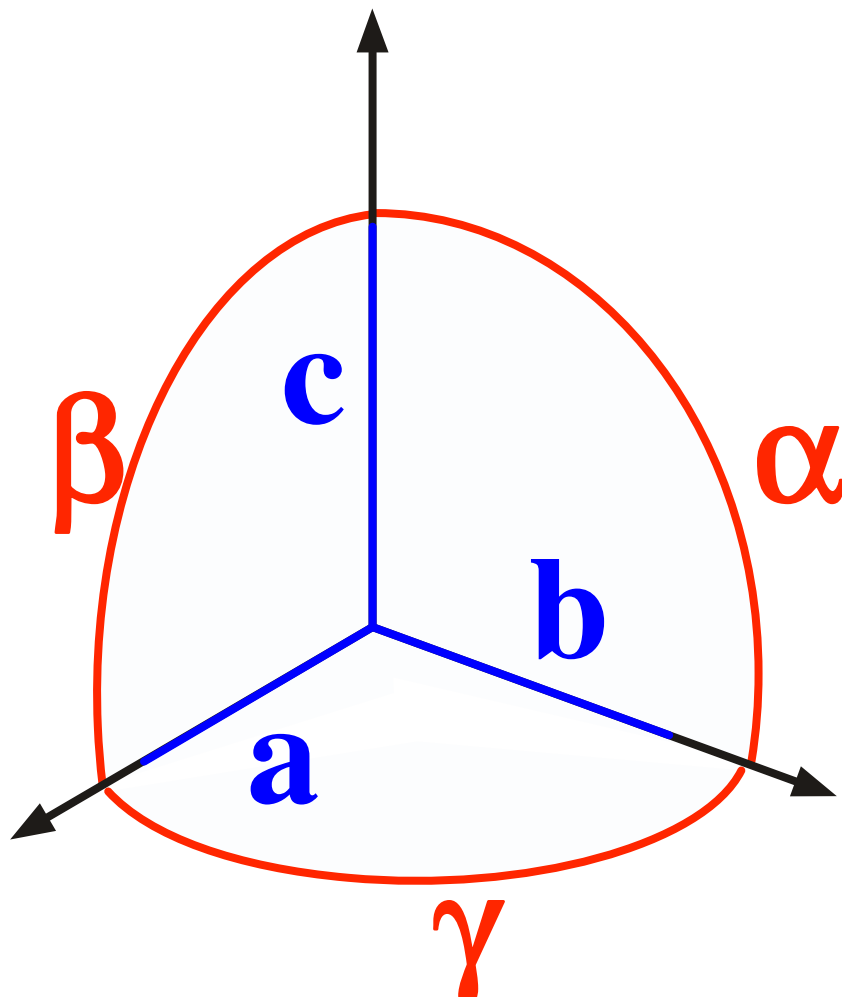


Primitiv

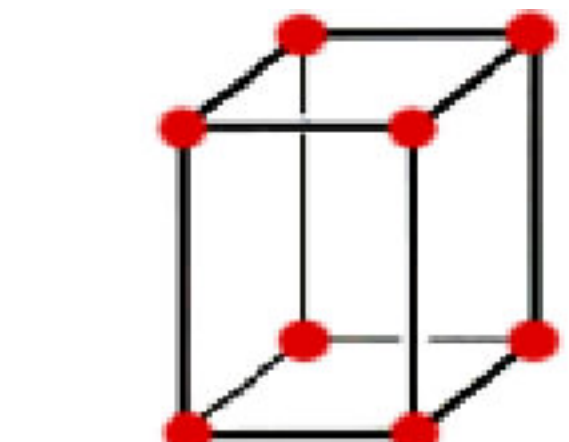


Basiszentriert

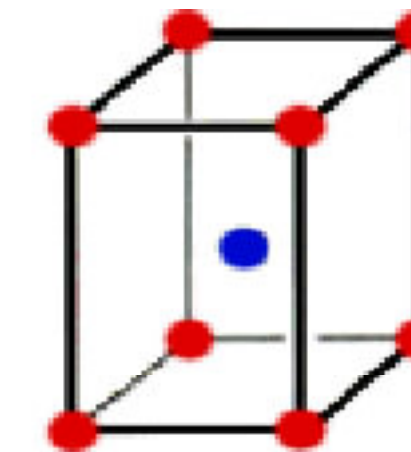
# Orthorombisches Kristallsystem



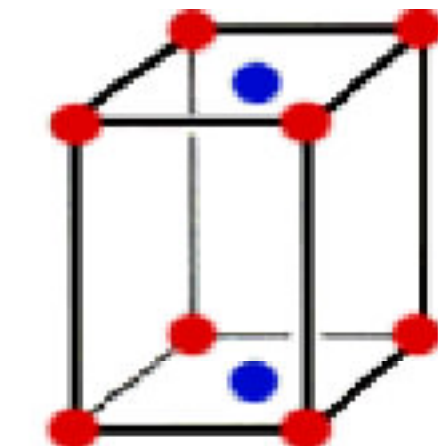
$a \neq b \neq c$ ,  
 $\alpha = \beta = \gamma = 90^\circ$



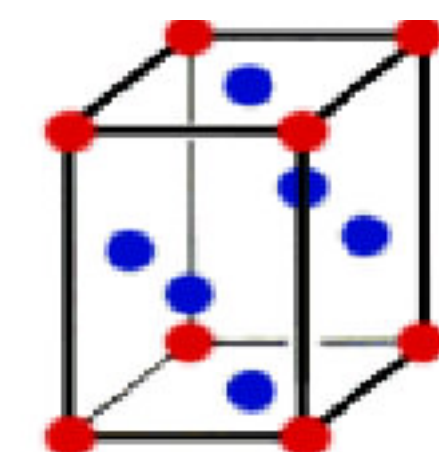
**Simple  
orthorombic**



**Body-centered  
orthorombic**

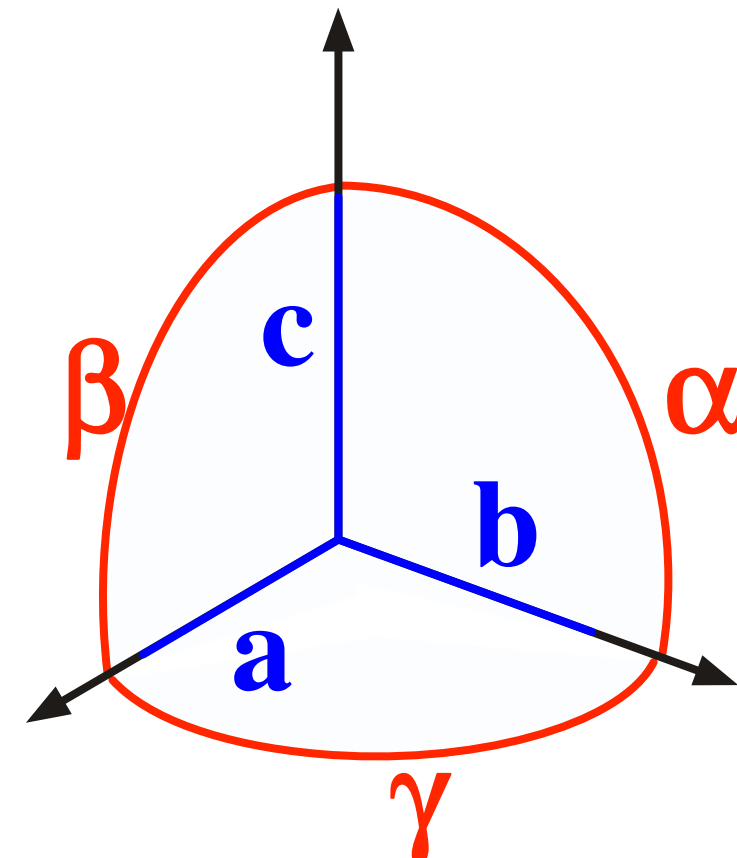


**Base-centered  
orthorombic**

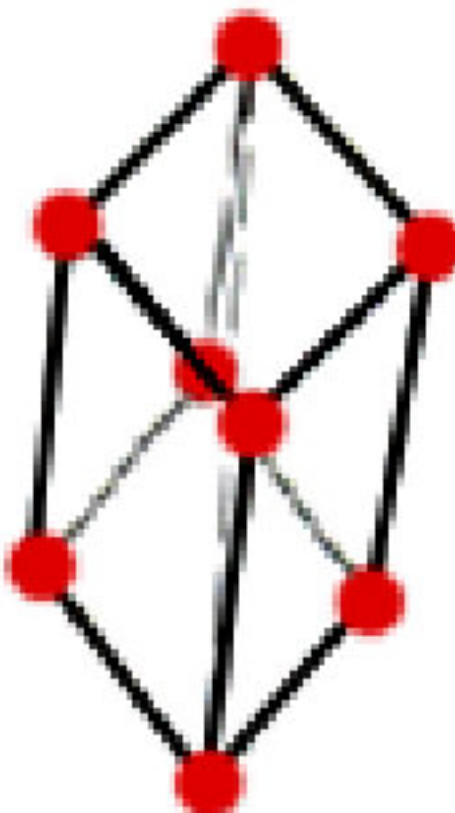


**Face-centered  
orthorombic**

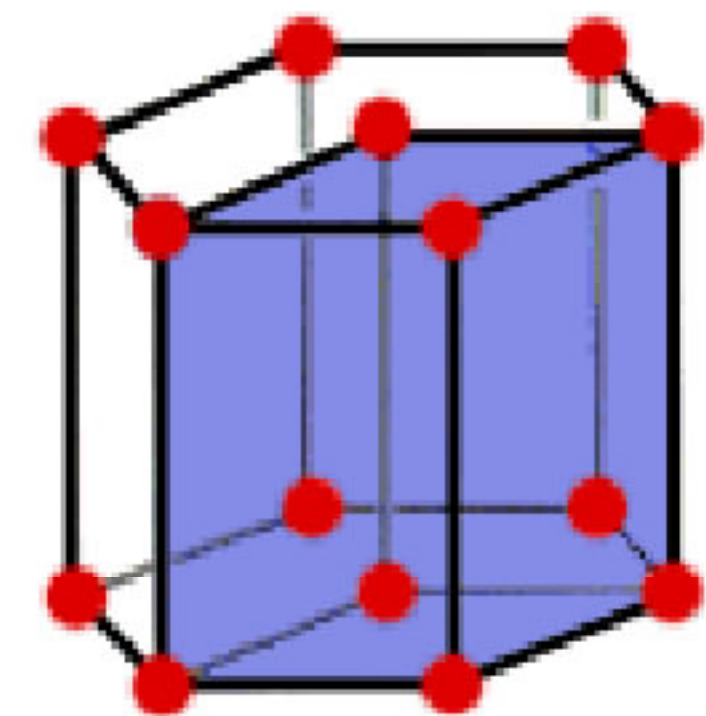
# Rhomboedrisch, Hexagonal



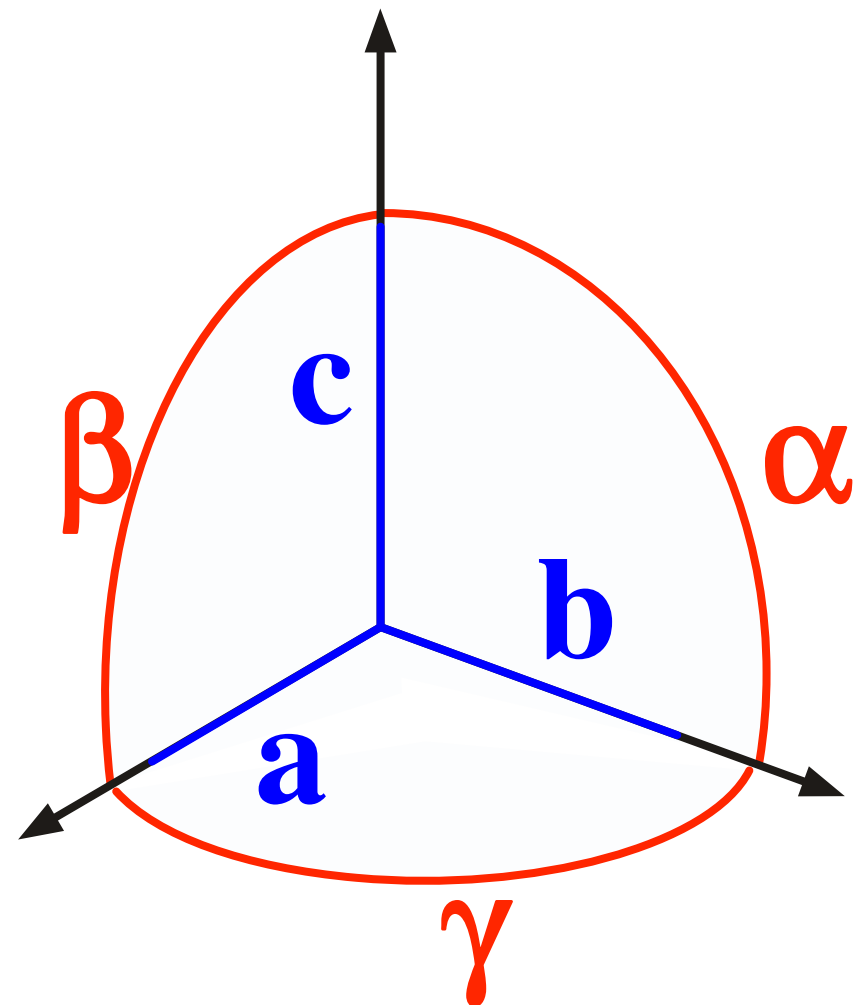
**Rhomboedrisch  
(trigonal)**  
 $a = b = c,$   
 $\alpha = \beta = \gamma \neq 90^\circ; < 120^\circ$



**Hexagonal**  
 $a = b \neq c,$   
 $\alpha = \beta = 90^\circ; \gamma = 120^\circ$

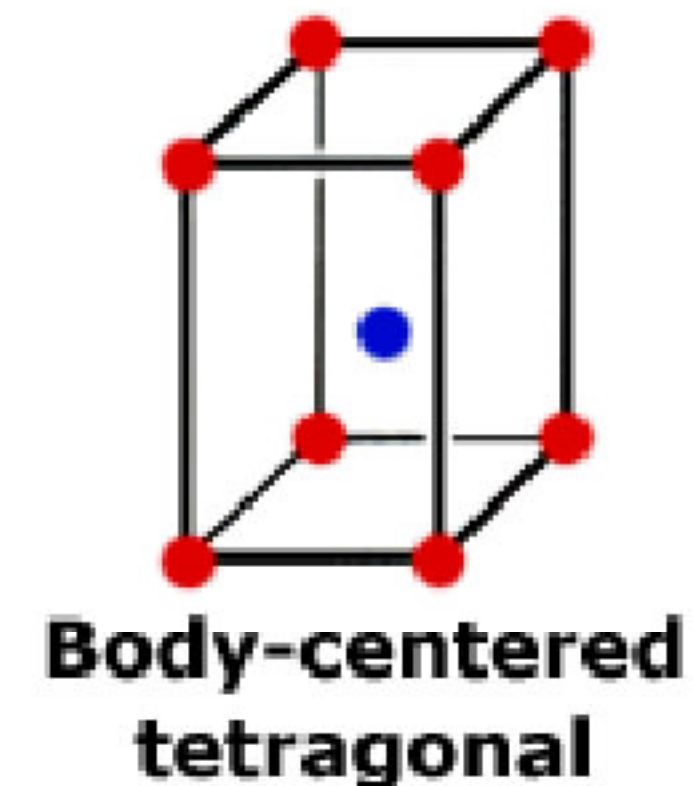
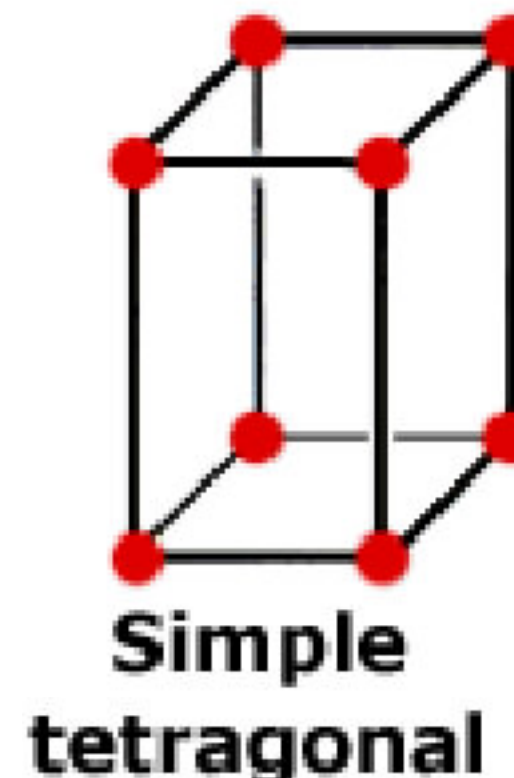


# Tetragonales Kristallsystem

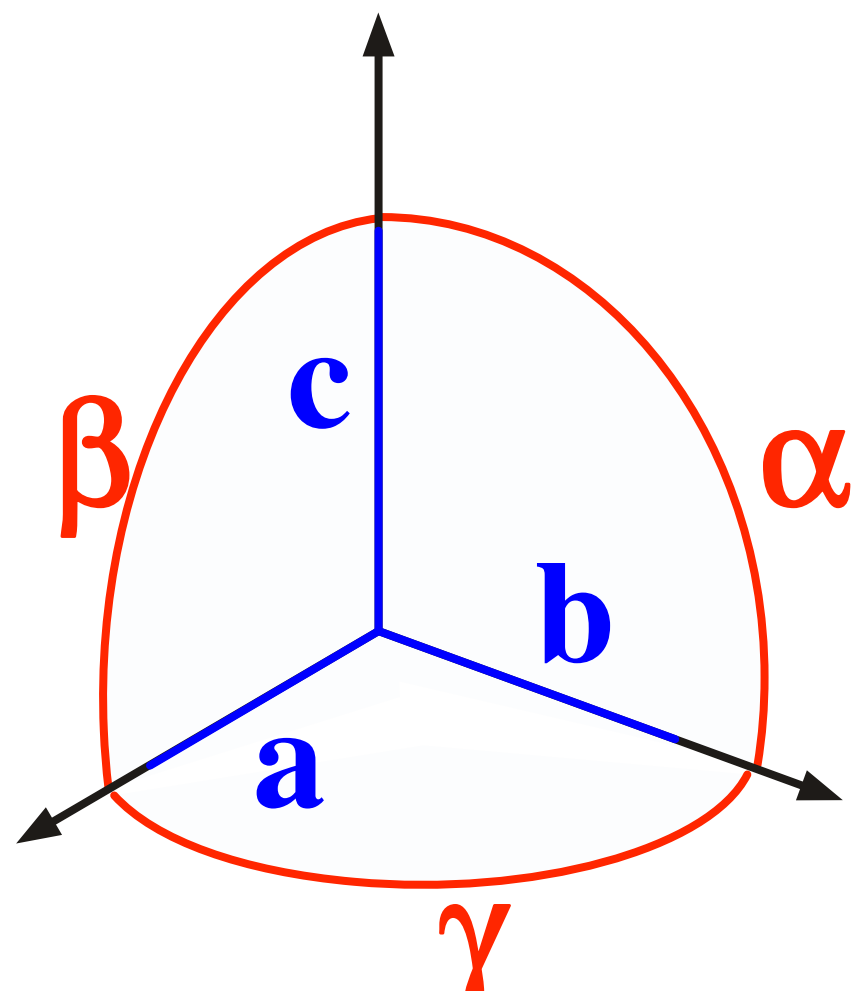


$a = b \neq c,$

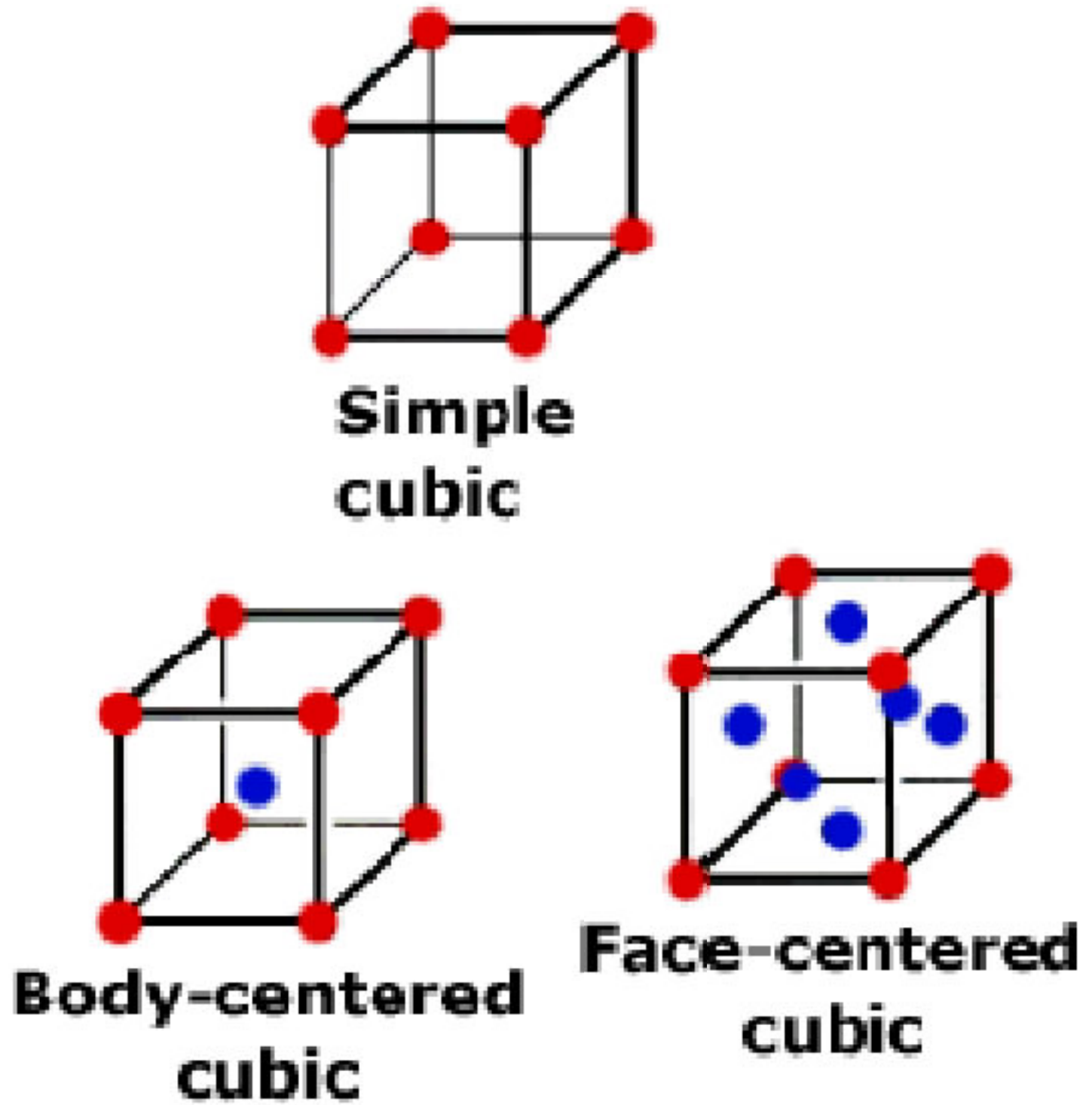
$\alpha = \beta = \gamma = 90^\circ$



# Kubisches Kristallsystem

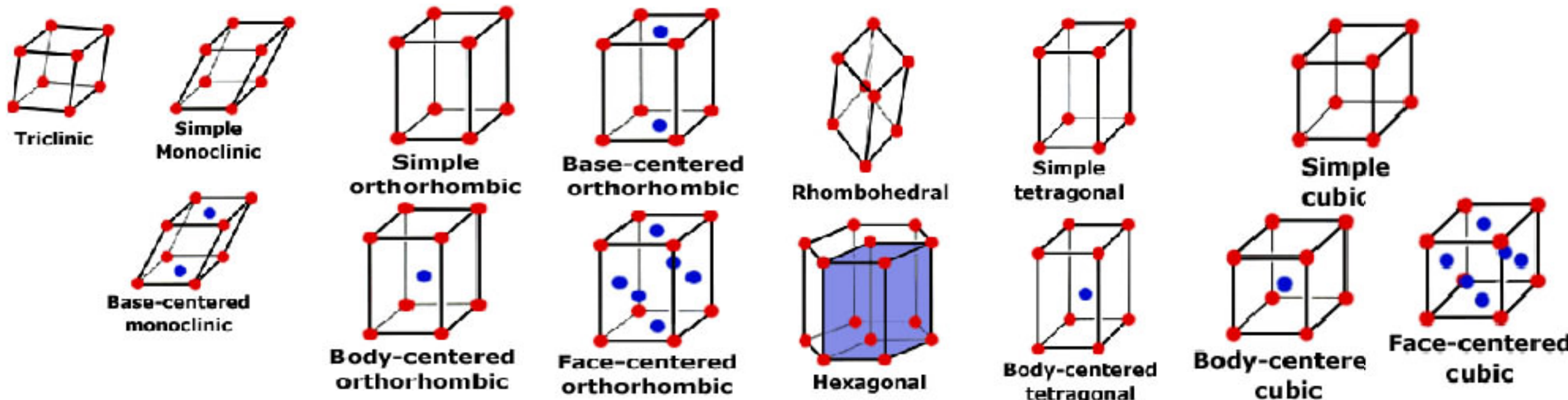


$$\begin{aligned}a &= b = c, \\ \alpha &= \beta = \gamma = 90^\circ\end{aligned}$$

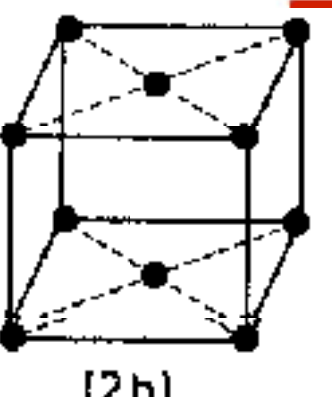
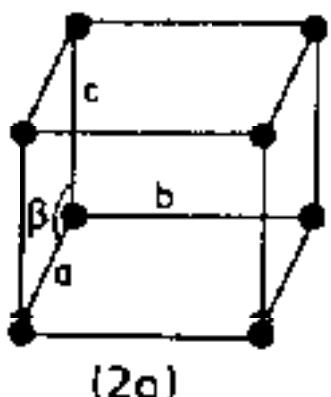
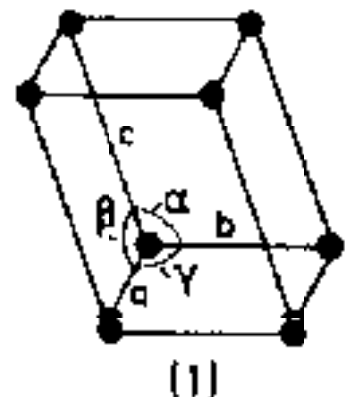


# Kristallsysteme und Translationsgitter

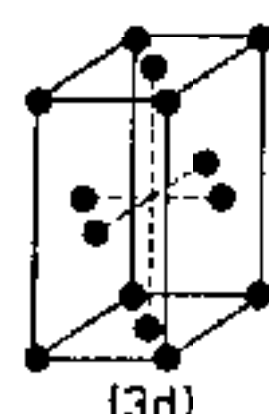
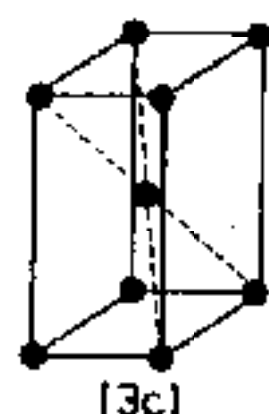
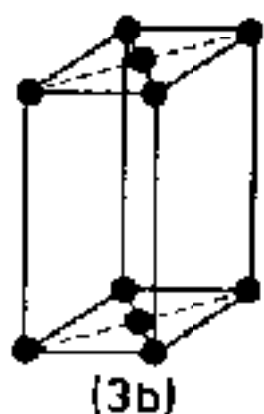
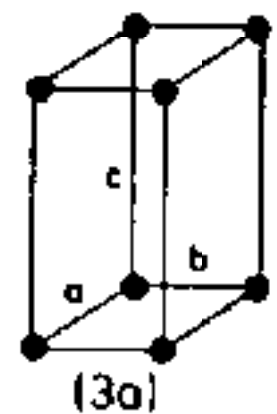
System	Bedingungen	Symmetrie	Gitter (Translations- /Bravais Gitter)
<b>Triklin</b>	$a \neq b \neq c, \alpha \neq \beta \neq \gamma$	keine	primitiv
<b>Monoklin</b>	$a \neq b \neq c, \alpha = \beta = 90^\circ \neq \gamma$	$1 C_2$	primitiv, basiszentriert
<b>Orthorombisch</b>	$a \neq b \neq c, \alpha = \beta = \gamma = 90^\circ$	$3 C_2$	primitiv, basis-, raum-, flächenzentriert
<b>Rhomboedrisch (trigonal)</b>	$a = b = c, \alpha = \beta = \gamma \neq 90^\circ; < 120^\circ$	$1 C_3$	primitiv
<b>Hexagonal</b>	$a = b \neq c, \alpha = \beta = 90^\circ; \gamma = 120^\circ$	$1 C_6$	primitiv
<b>Tetragonal</b>	$a = b \neq c, \alpha = \beta = \gamma = 90^\circ$	$1 C_4$	primitiv, raumzentriert
<b>Kubisch</b>	$a = b = c, \alpha = \beta = \gamma = 90^\circ$	$4 C_3$	primitiv, raum-, flächenzentriert



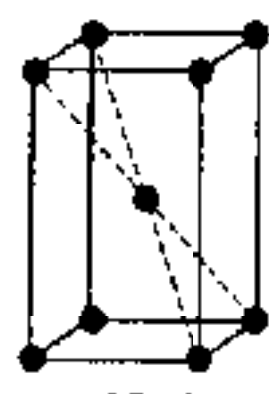
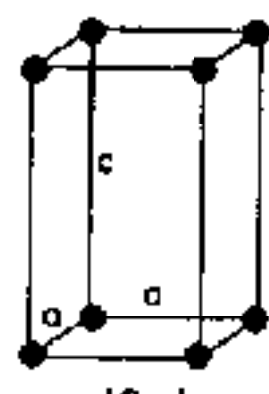
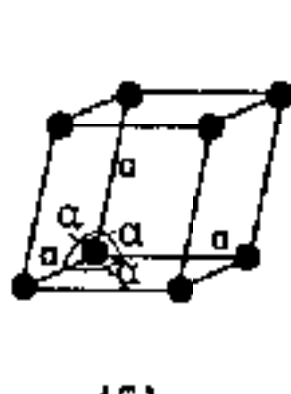
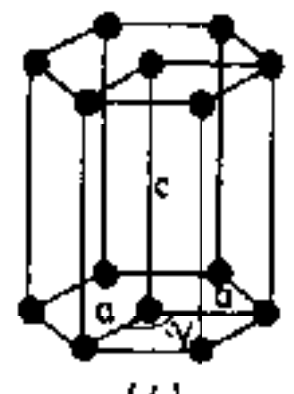
# Bravais Gitter in 3D



Triklin



Monoklin



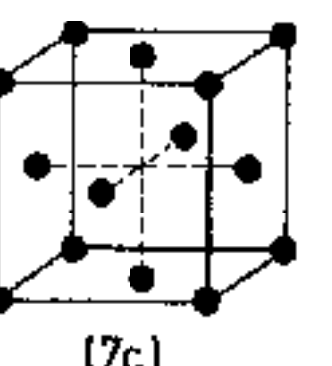
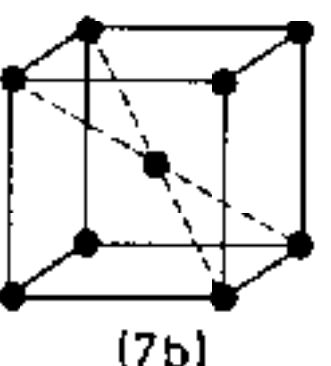
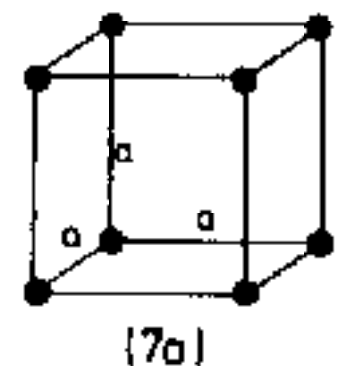
Orthorombisch

Rhomboedrisch  
(trigonal)

Hexagonal

Tetragonal

Kubisch



# Bravais Gitter in 3D



Fluorite



$$\begin{aligned}a &= b = c \\ \alpha &= \beta = \gamma = 90^\circ\end{aligned}$$

Cubic



Rutile

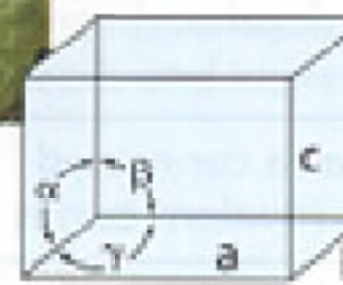


$$\begin{aligned}a &= b \neq c \\ \alpha &= \beta = \gamma = 90^\circ\end{aligned}$$

Tetragonal



Barite



$$\begin{aligned}a &\neq b \neq c \\ \alpha &= \beta = \gamma = 90^\circ\end{aligned}$$

Orthorhombic



Rhodonite



$$\begin{aligned}a &\neq b \neq c \\ \alpha &\neq \beta \neq \gamma \neq 90^\circ\end{aligned}$$

Triclinic



Corundum

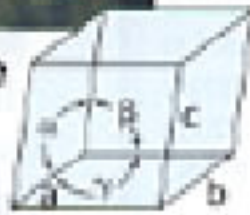


$$\begin{aligned}a &= b \neq c \\ \alpha &= \beta = 90^\circ, \gamma = 120^\circ\end{aligned}$$

Hexagonal



Cerussite

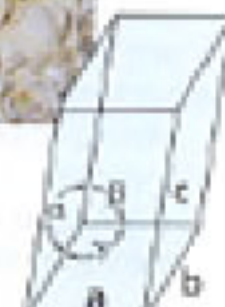


$$\begin{aligned}a &= b = c \\ \alpha &= \beta = \gamma \neq 90^\circ\end{aligned}$$

Rhombohedral



Boron

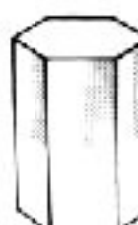
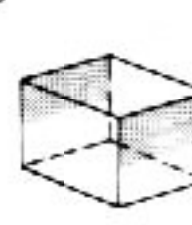
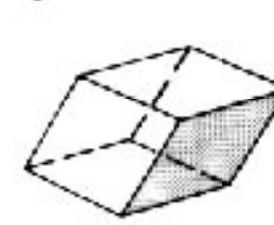
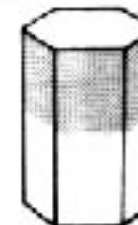
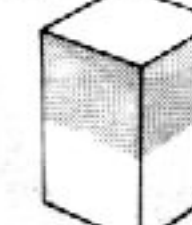
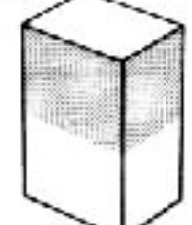
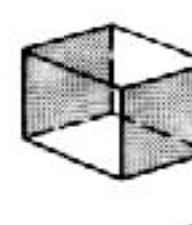
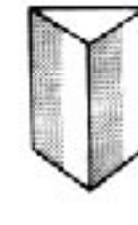
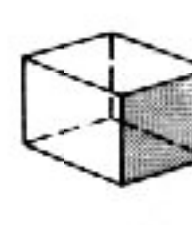


$$\begin{aligned}a &\neq b \neq c \\ \alpha &= \gamma = 90^\circ \neq \beta\end{aligned}$$

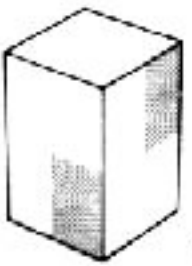
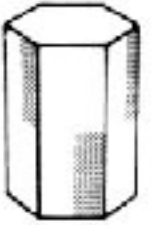
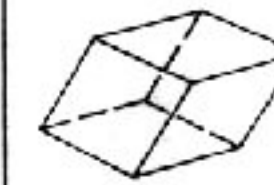
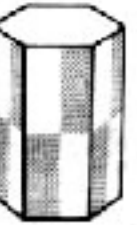
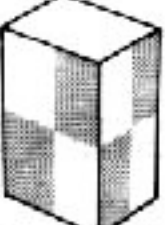
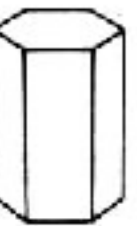
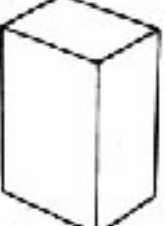
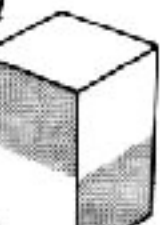
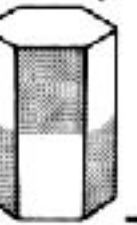
Monoclinic

Crystals are classified into seven categories based on their overall shapes.

# Kristallklassen

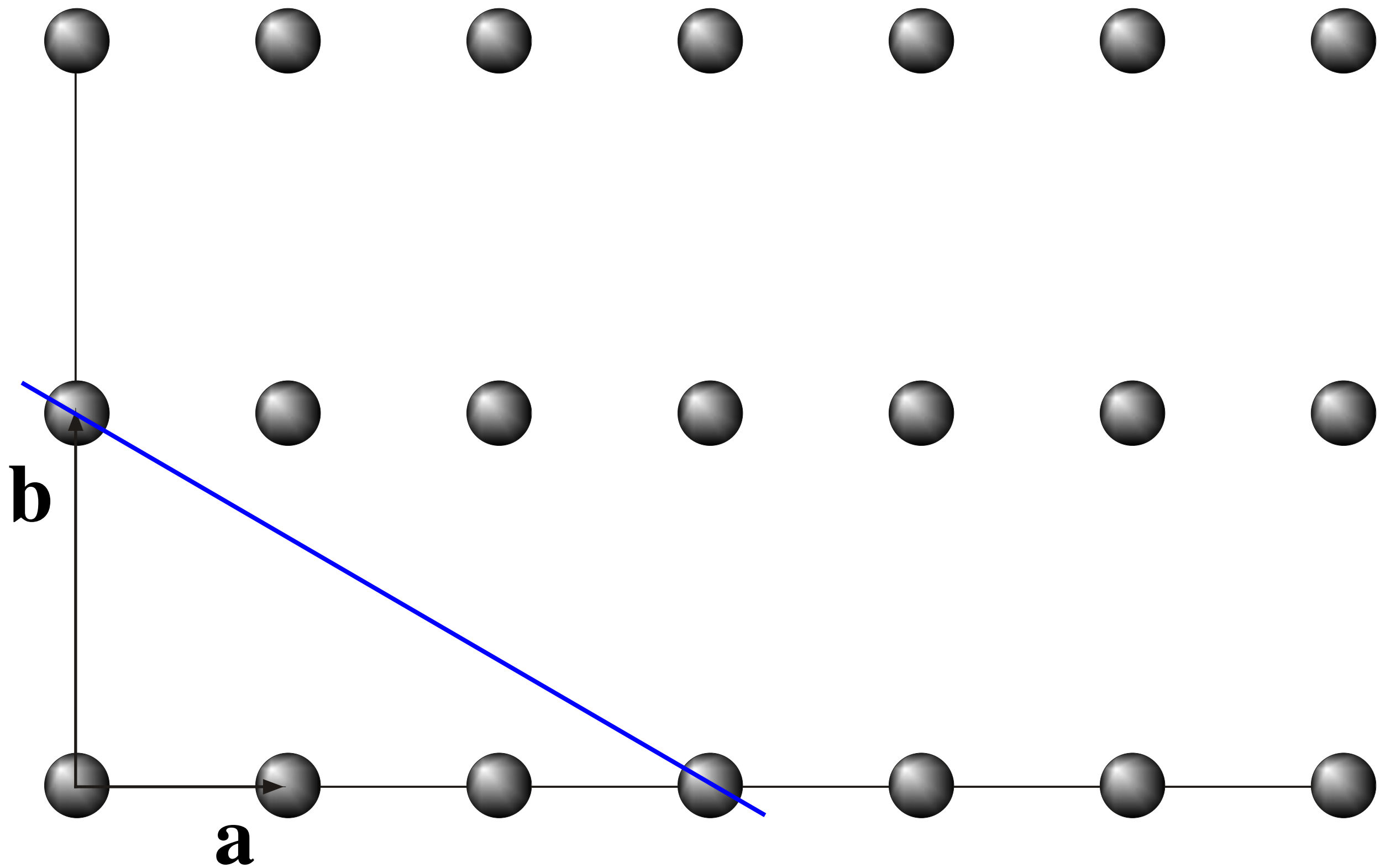
SCHOEN-FLIES	HEXAGONAL	TETRAGONAL	TRIGONAL	ORTHO-RHOMBIC	MONOCLINIC	TRICLINIC	INTER-NATIONAL
$C_n$	$C_6$  6	$C_4$  4	$C_3$  3		$C_2$  2	$C_1$  1	$n$
$C_{nv}$	$C_{6v}$  6mm	$C_{4v}$  4mm	$C_{3v}$  3m	$C_{2v}$  2mm			$nmm$ ( $n$ even) $nm$ ( $n$ odd)
$C_{nh}$	$C_{6h}$  6/m	$C_{4h}$  4/m			$C_{2h}$  2/m		$n/m$
	$C_{3h}$  $\bar{6}$				$C_{1h}$  $m$		$\bar{n}$

# Kristallklassen

$S_n$	$S_4$  $\bar{4}$	$S_6$  $(C_{3i})$ $\bar{3}$			$S_2$  $(C_i)$ $\bar{1}$	$\bar{n}$
$D_n$	$D_6$  622	$D_4$  422	$D_3$  32	$D_2$  (V) 222		$n2\bar{2}$ (n even) $n2$ (n odd)
$D_{nh}$	$D_{6h}$  6/mmm	$D_{4h}$  4/mmm		$D_{2h}$ (mmm)  (V <sub>h</sub> ) 2/mmm		$\frac{n}{m} \frac{2}{m} \frac{2}{m}$ (n/mmm)
	$D_{3h}$  $\bar{6}2m$					$\bar{n}2m$ (n even)
$D_{nd}$		$D_{2d}$  (V <sub>d</sub> ) $\bar{4}2m$	$D_{3d}$  $\bar{3}\frac{2}{m}$			$\bar{n} \frac{2}{m}$ (n odd)

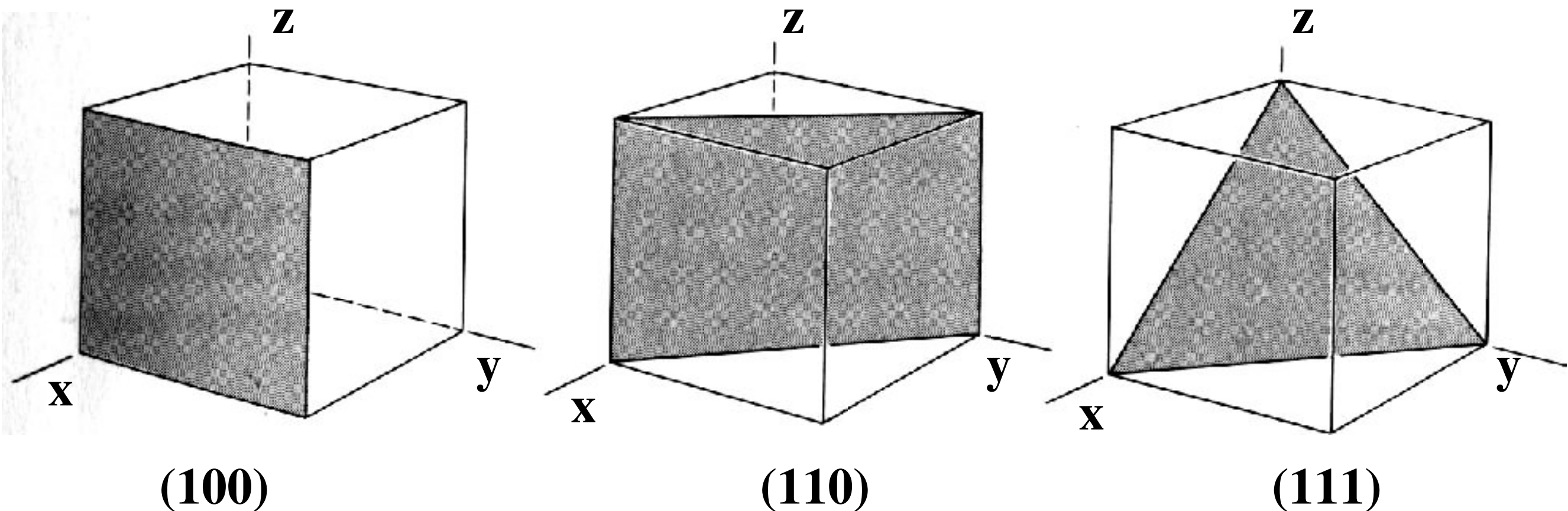
# Miller Indizes

---

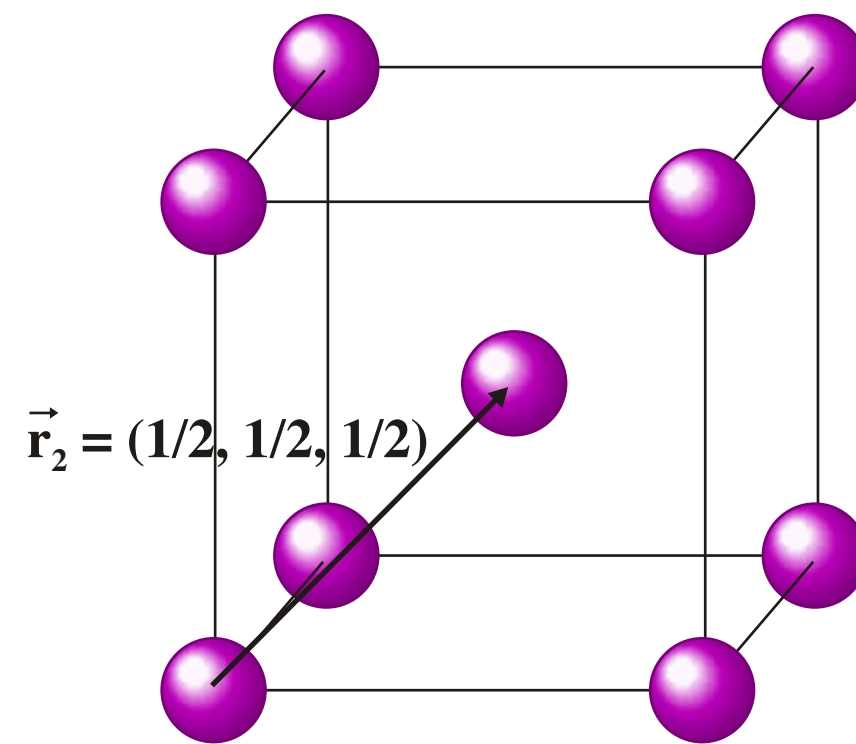
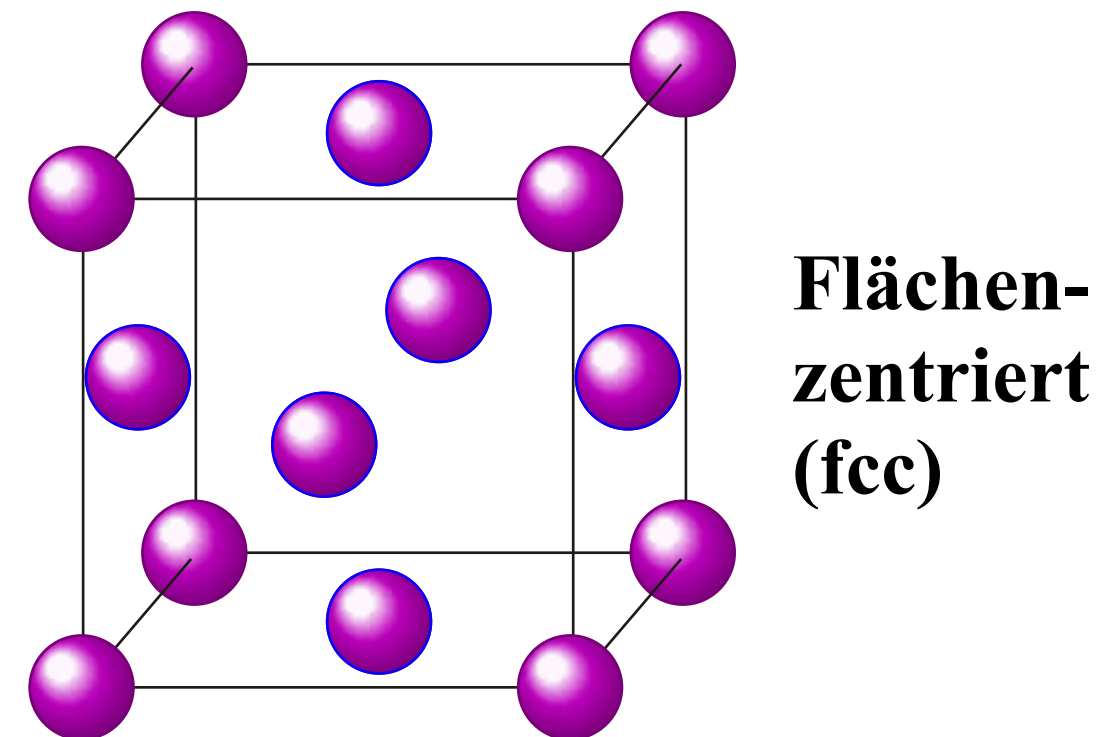
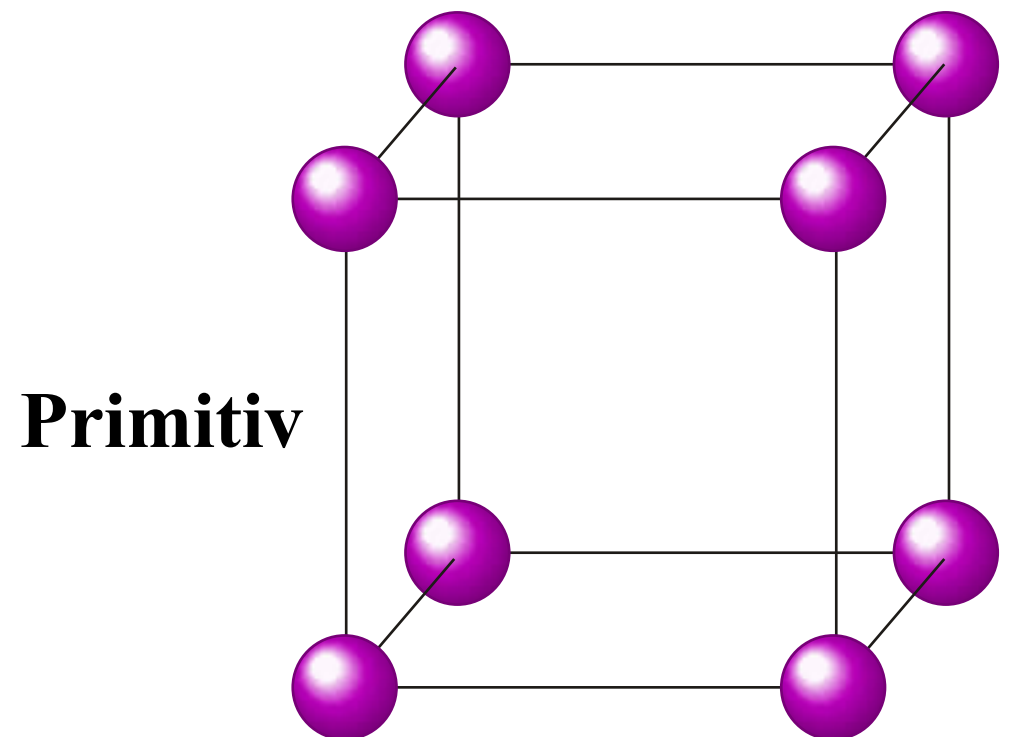


# Miller Indizes

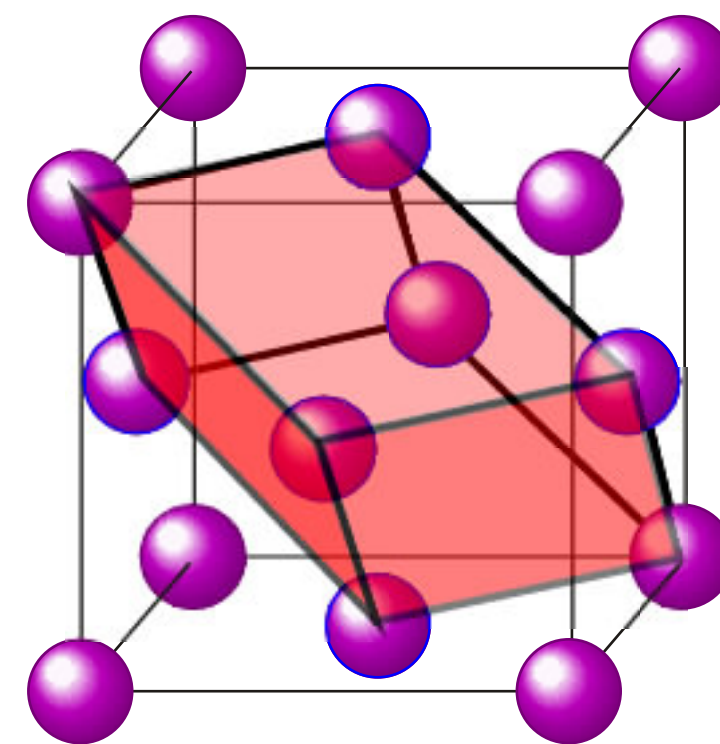
---



# Kubische Einheitszellen

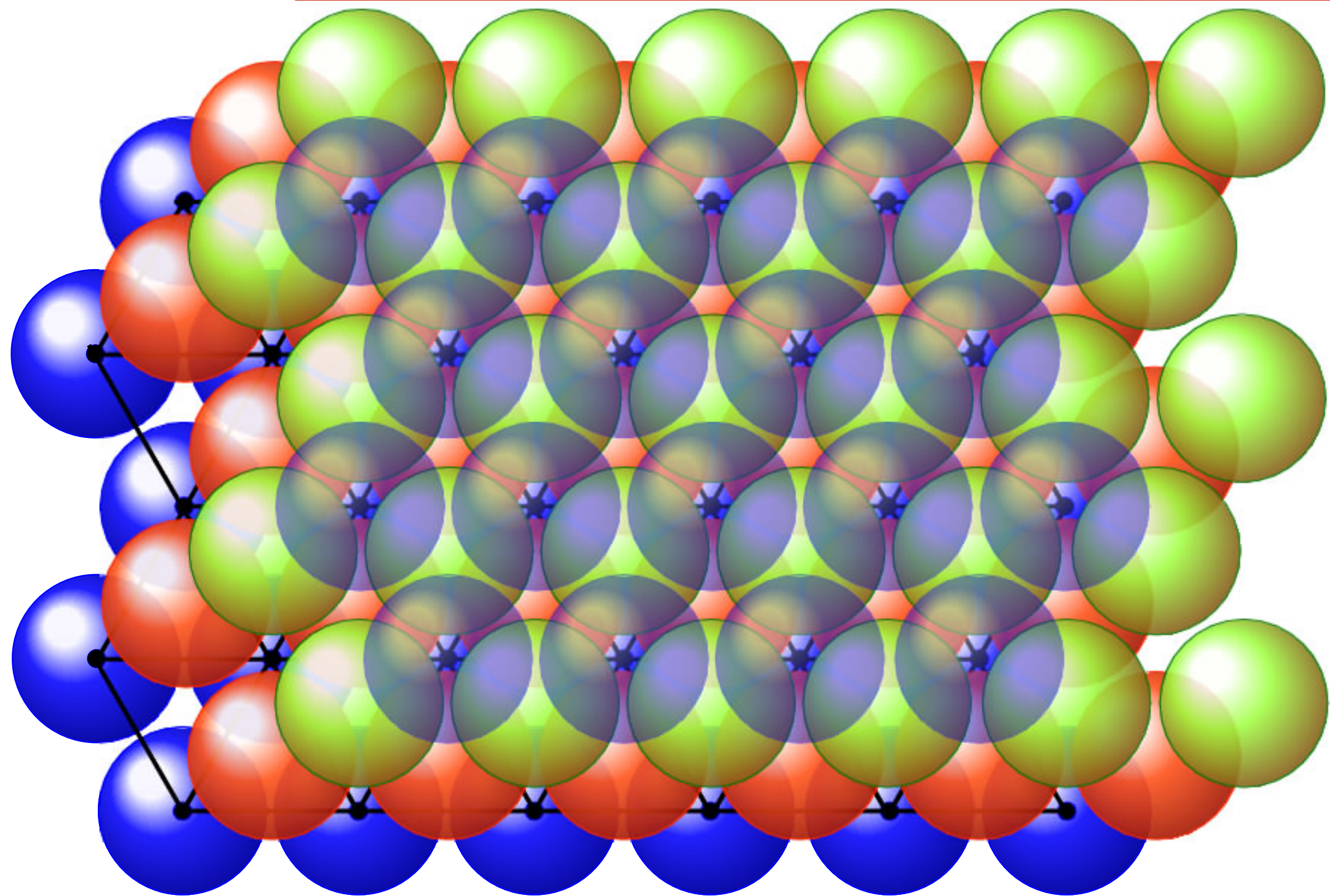


Raumzentriert (bcc)



Primitive EZ für flächenzentriertes Gitter

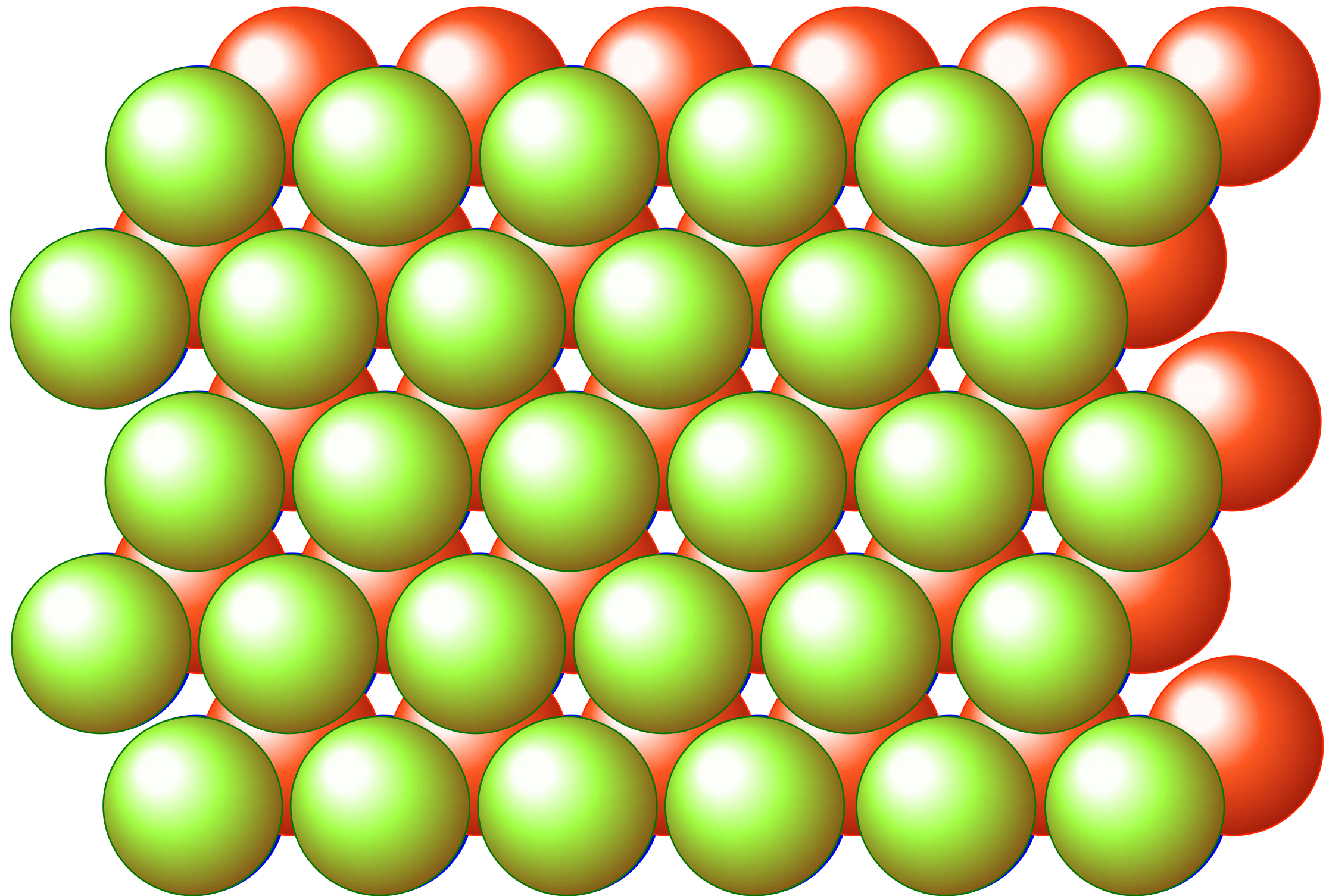
# Dichteste Kugelpackung



Sequenz: ABCABC ...

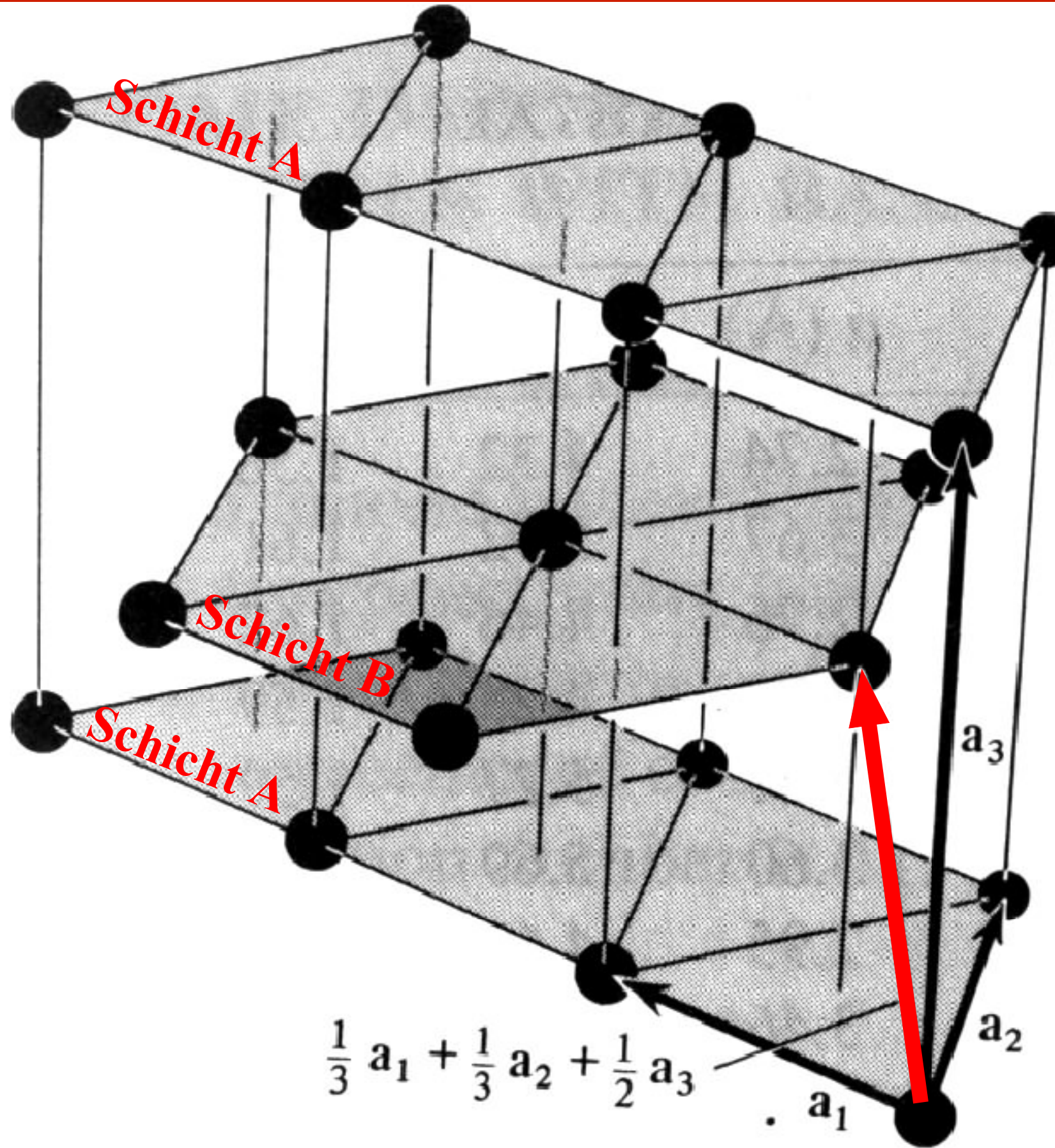
# Dichteste Kugelpackung

---

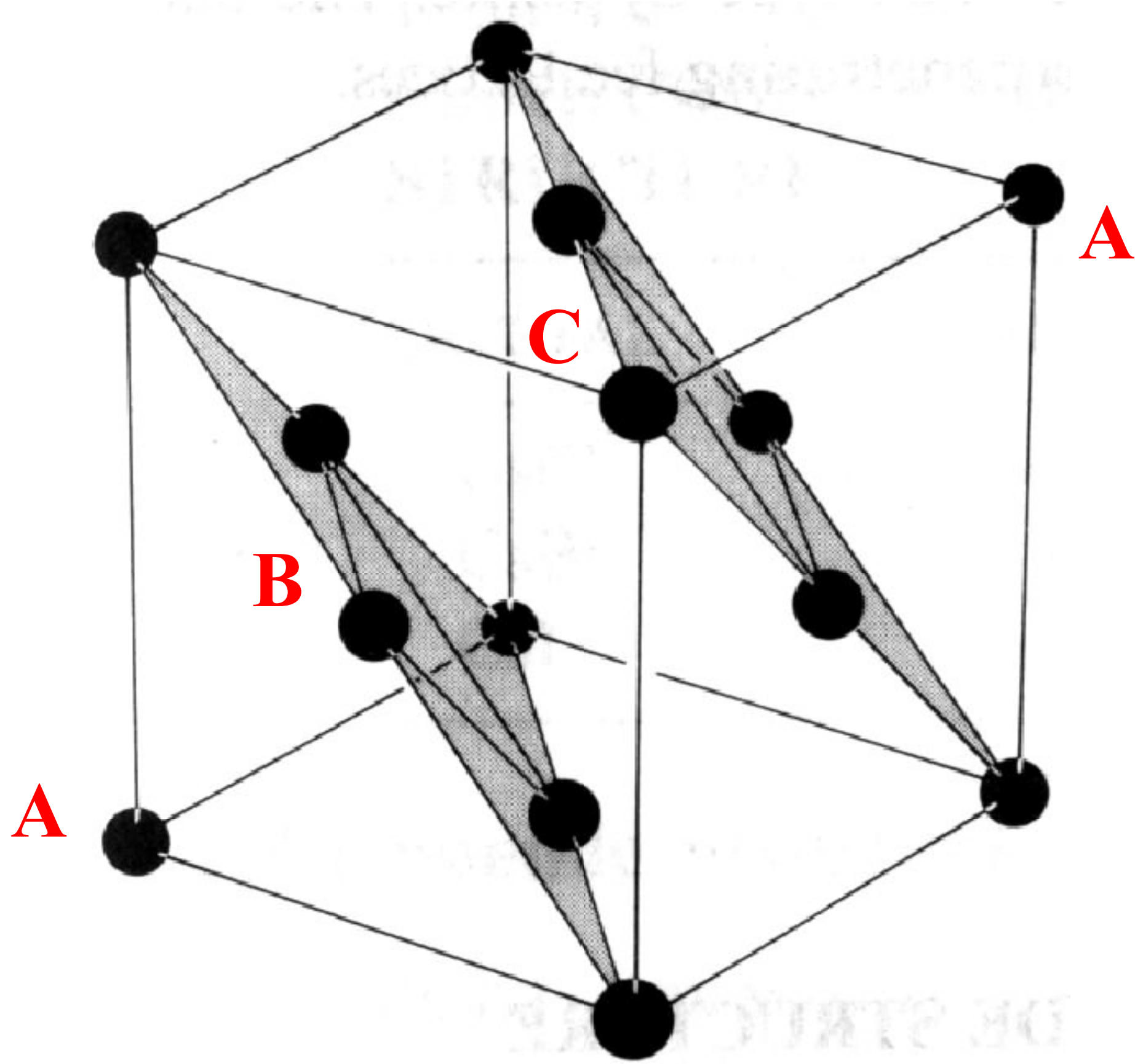


Sequenz: ABABAB ...

# Hexagonal dichteste Kugelpackung

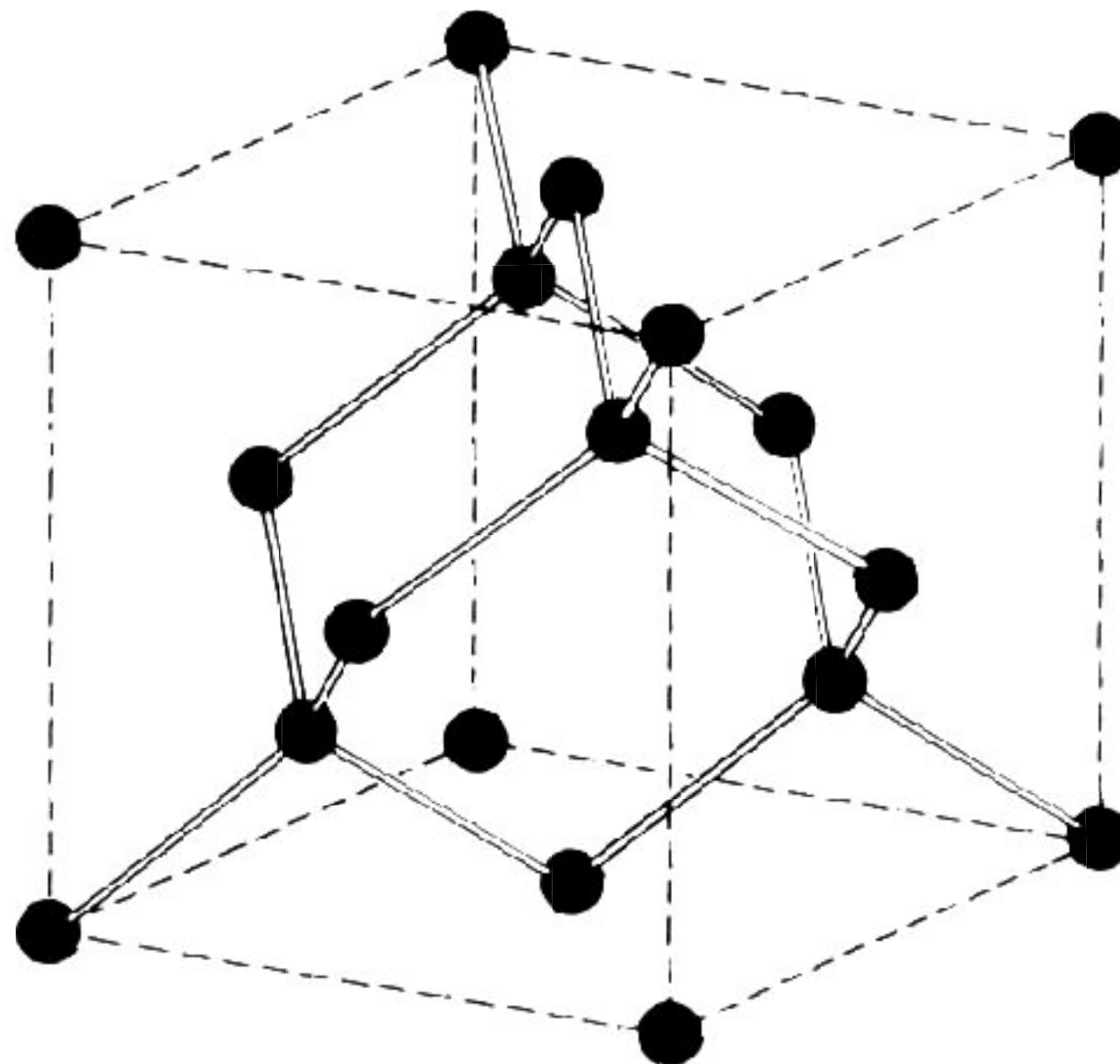


# Kubisch flächenzentriertes Gitter

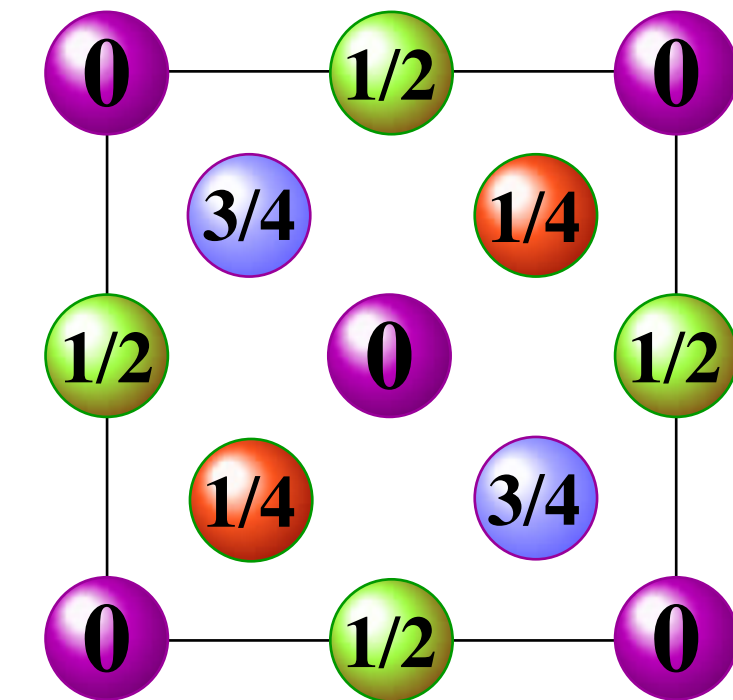


# Kristallstrukturen

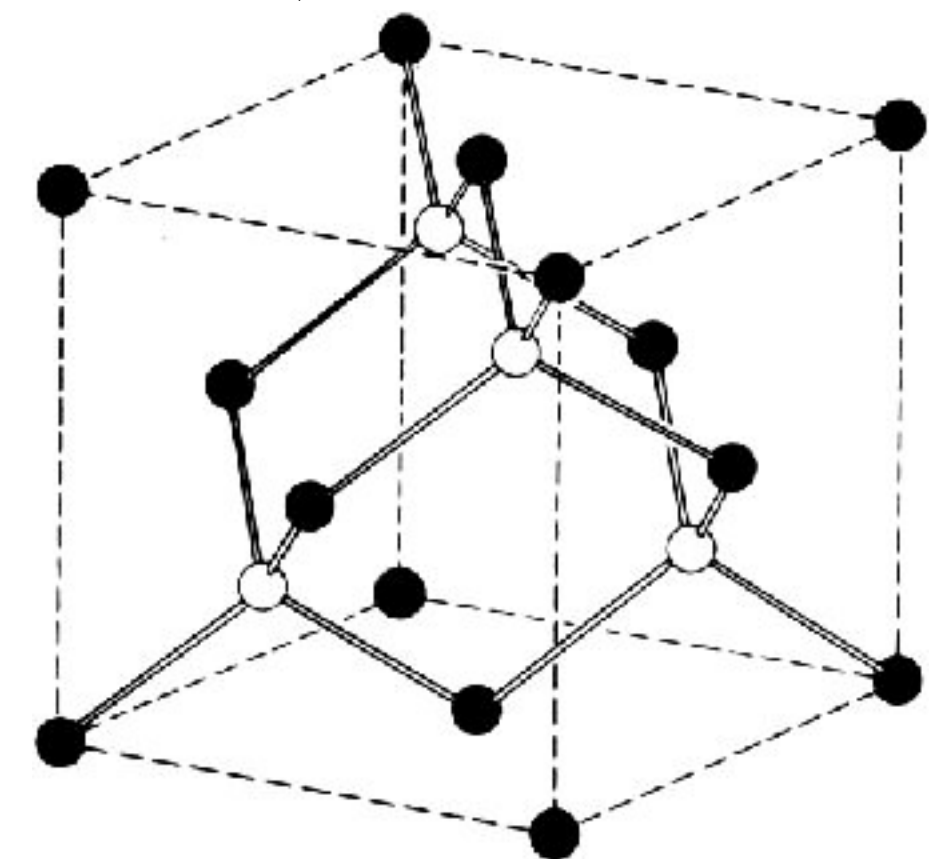
## Diamant



kubisch flächenzentriert  
2-atomige Basis

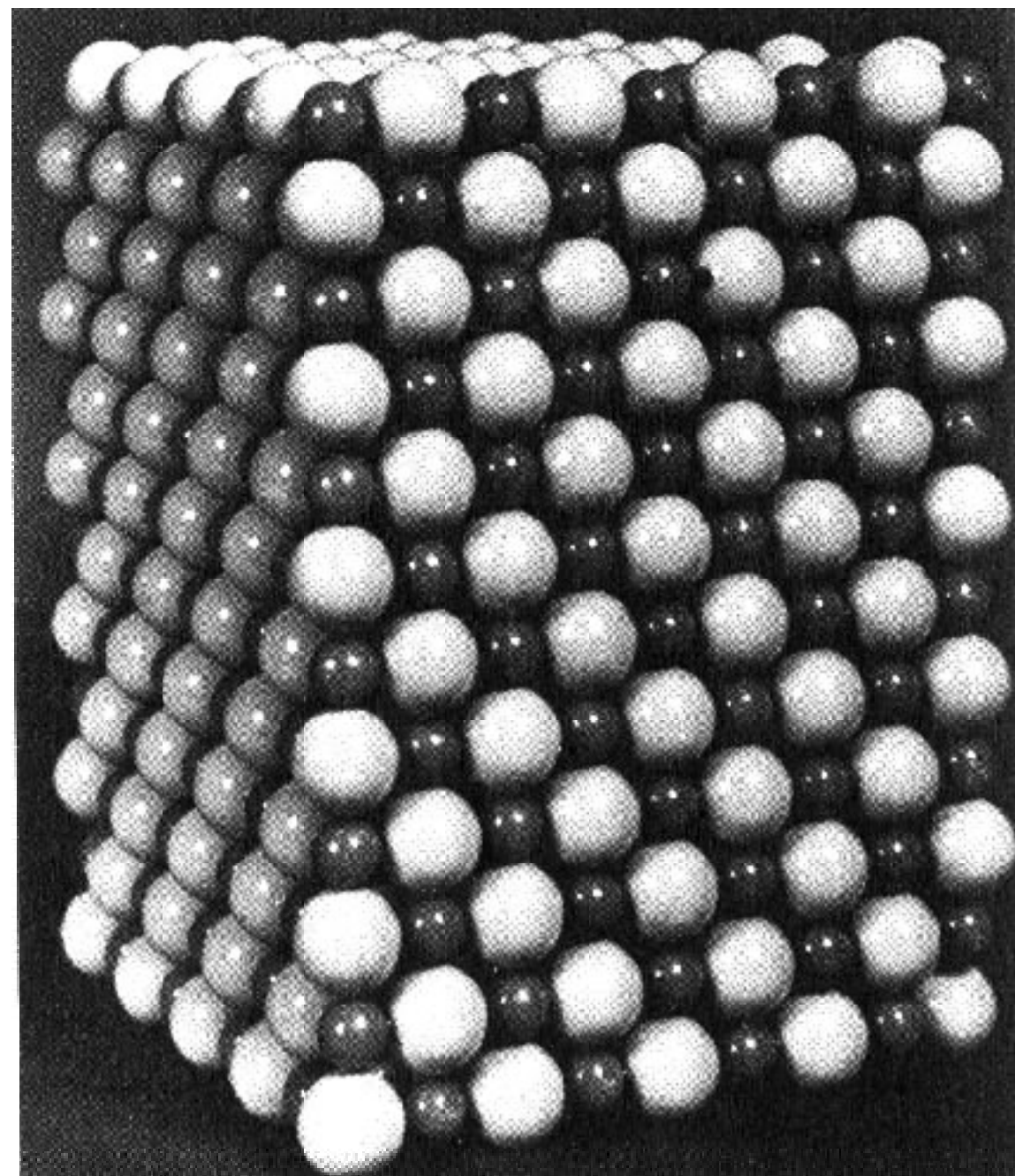
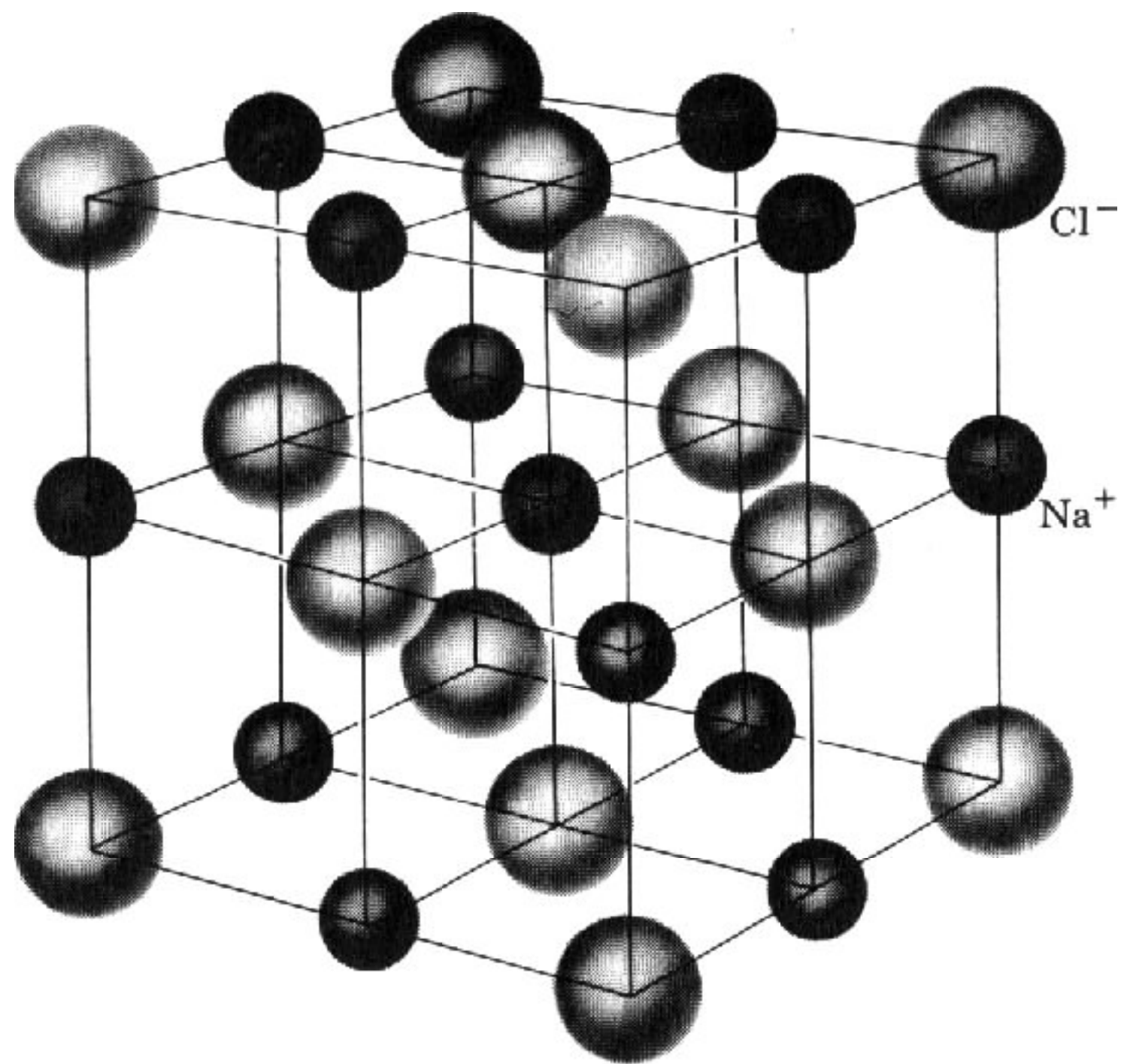


GaAs, AlAs



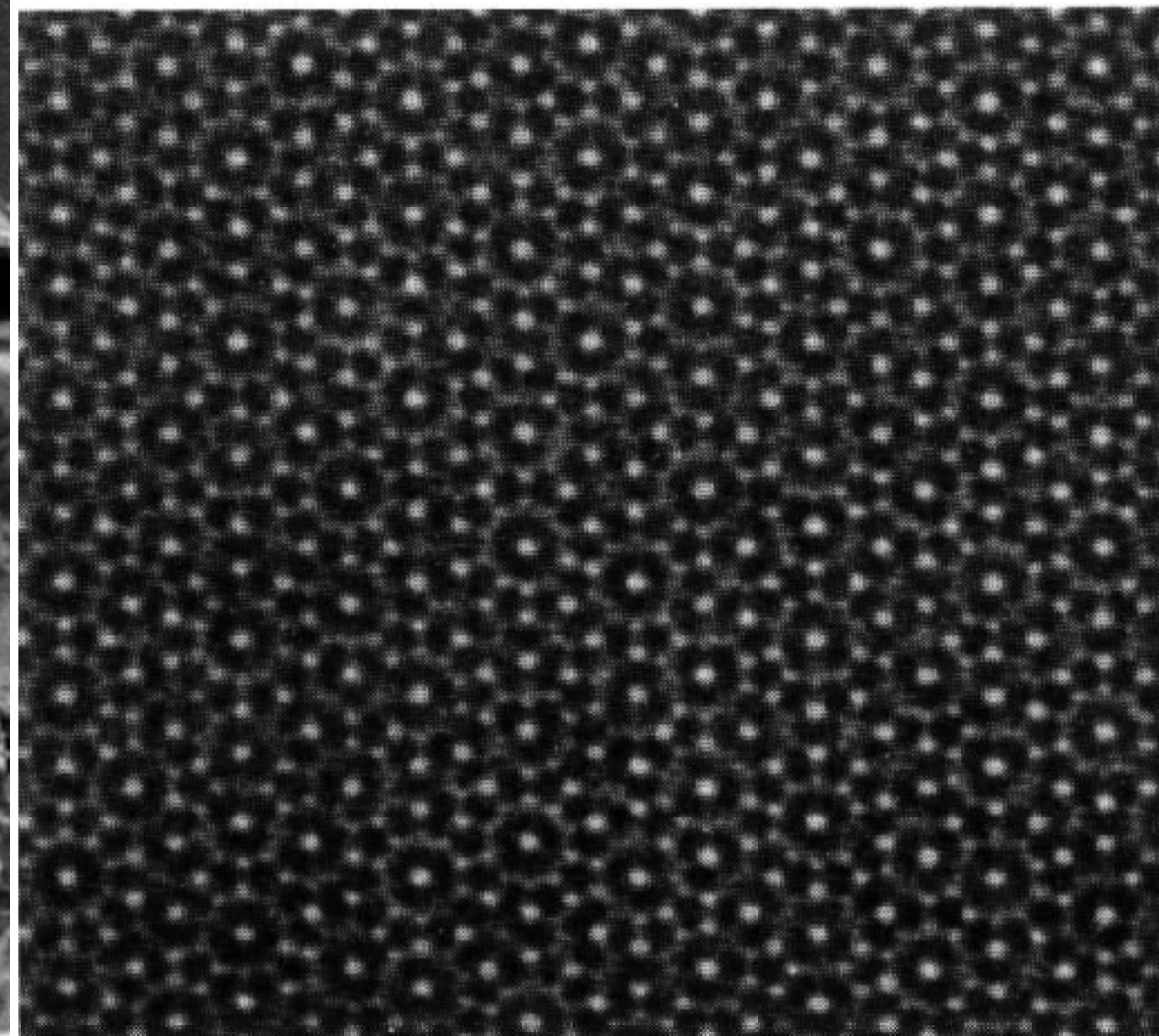
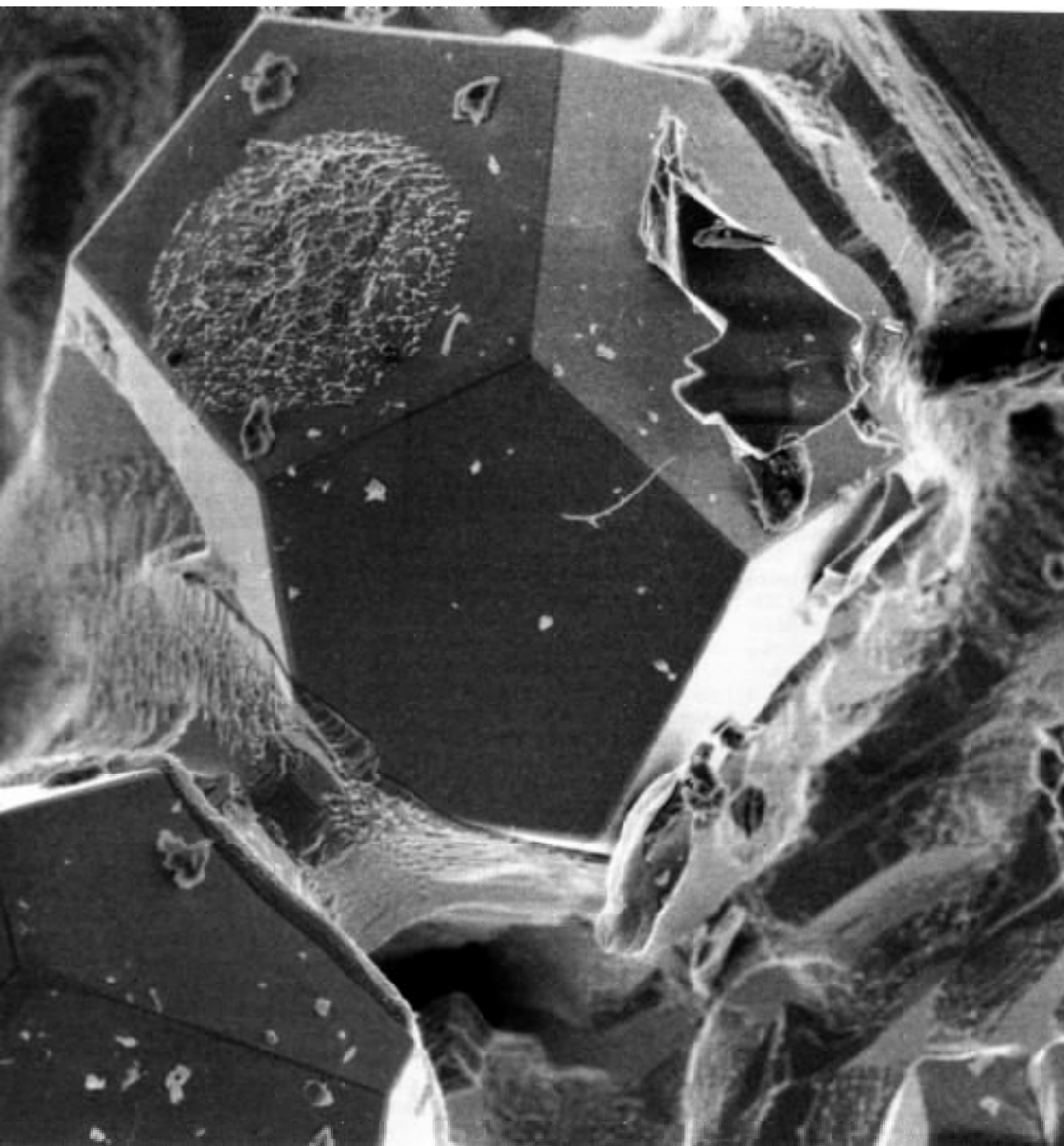
# Kochsalz

---



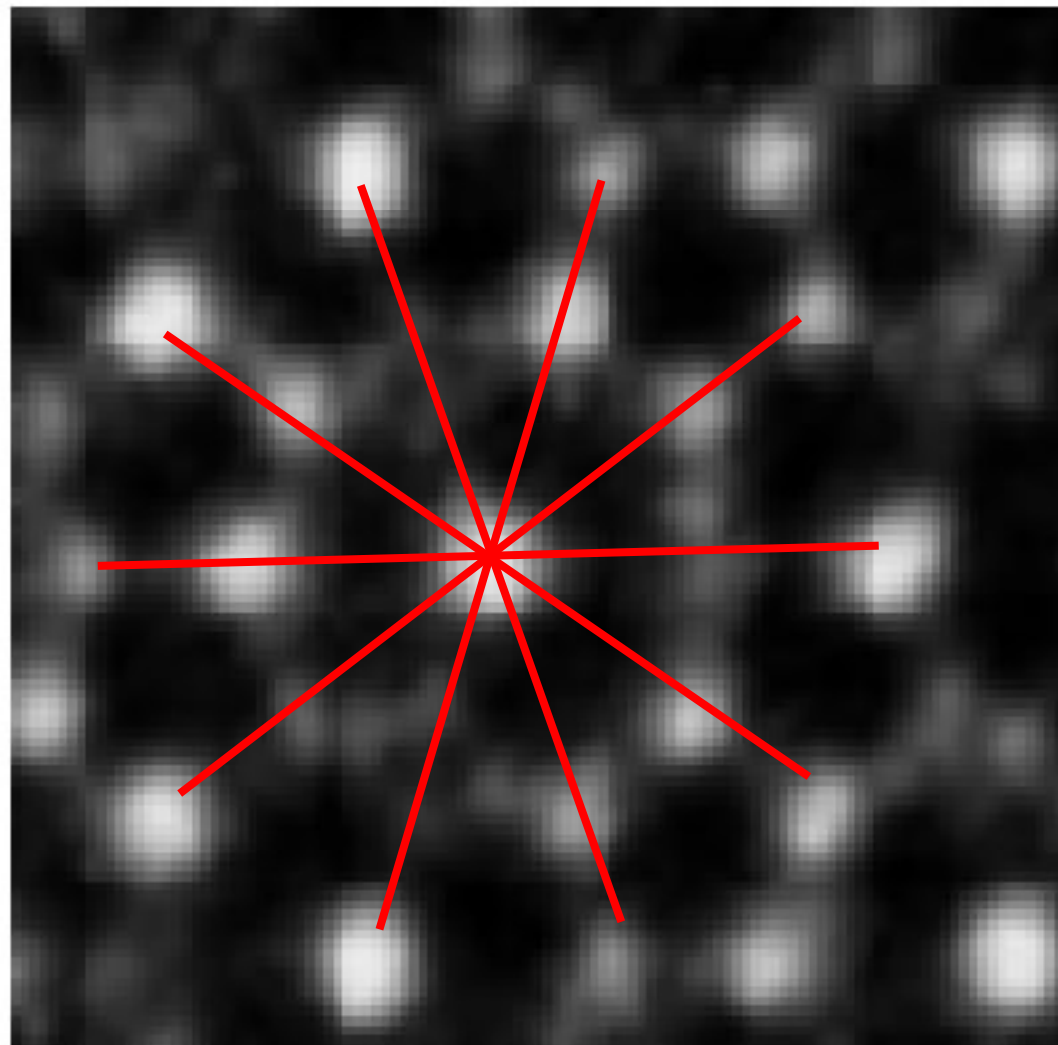
# Quasikristalle

---

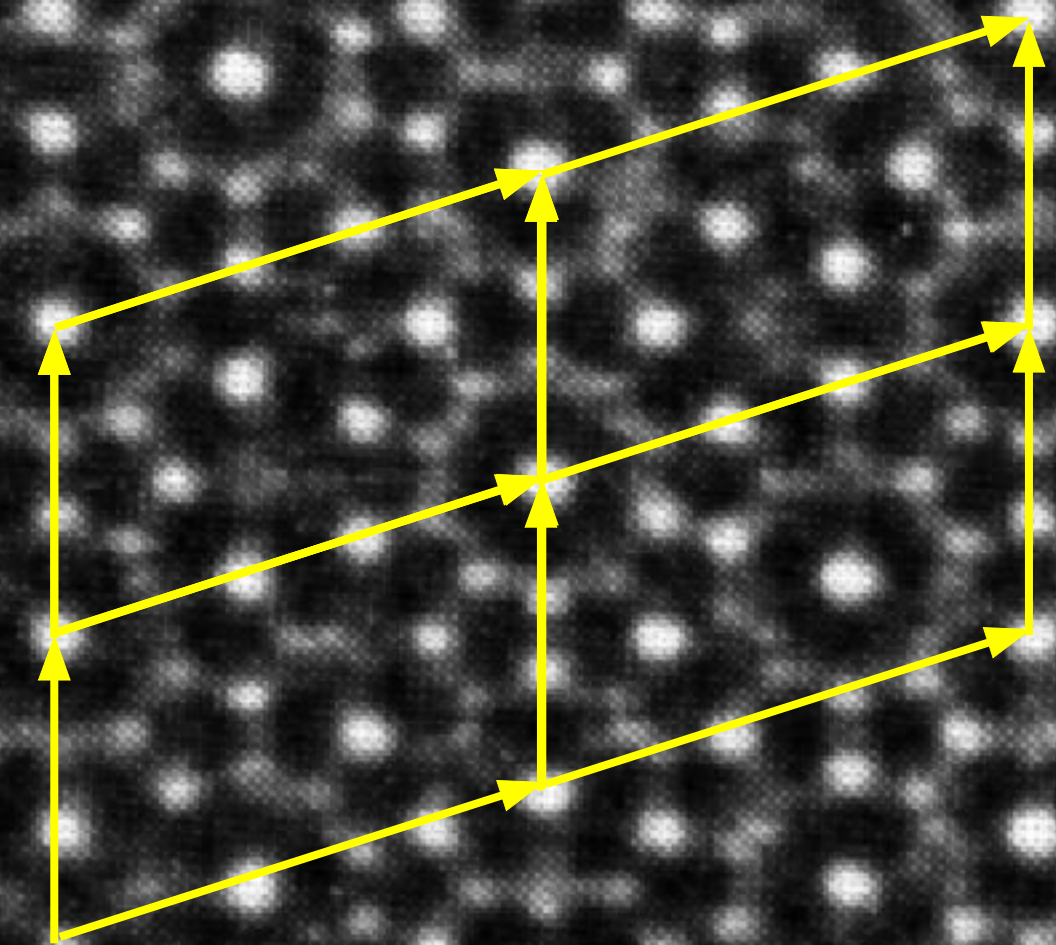


# Quasikristalle

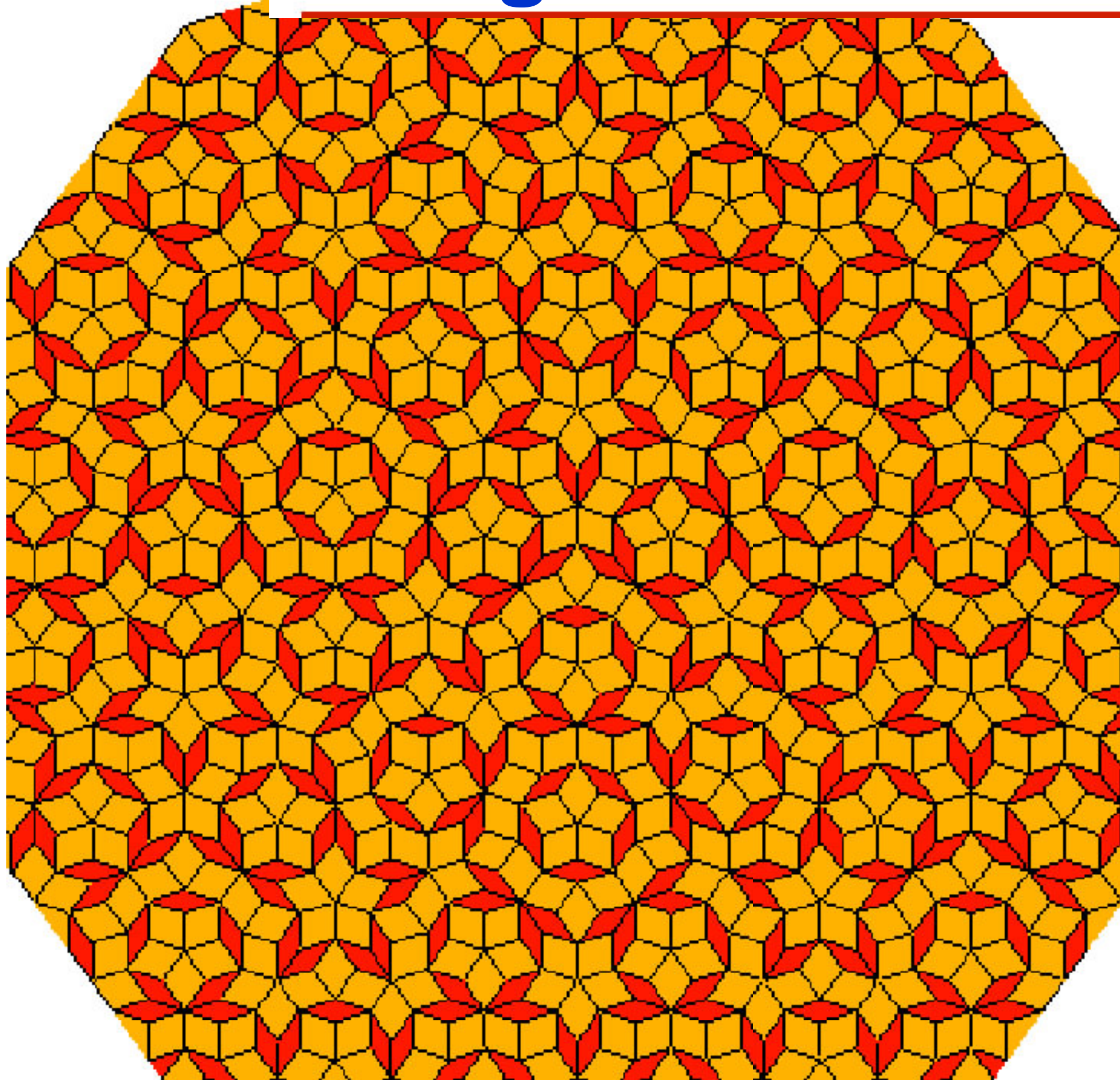
Nahordnung



Translationssymmetrie ?

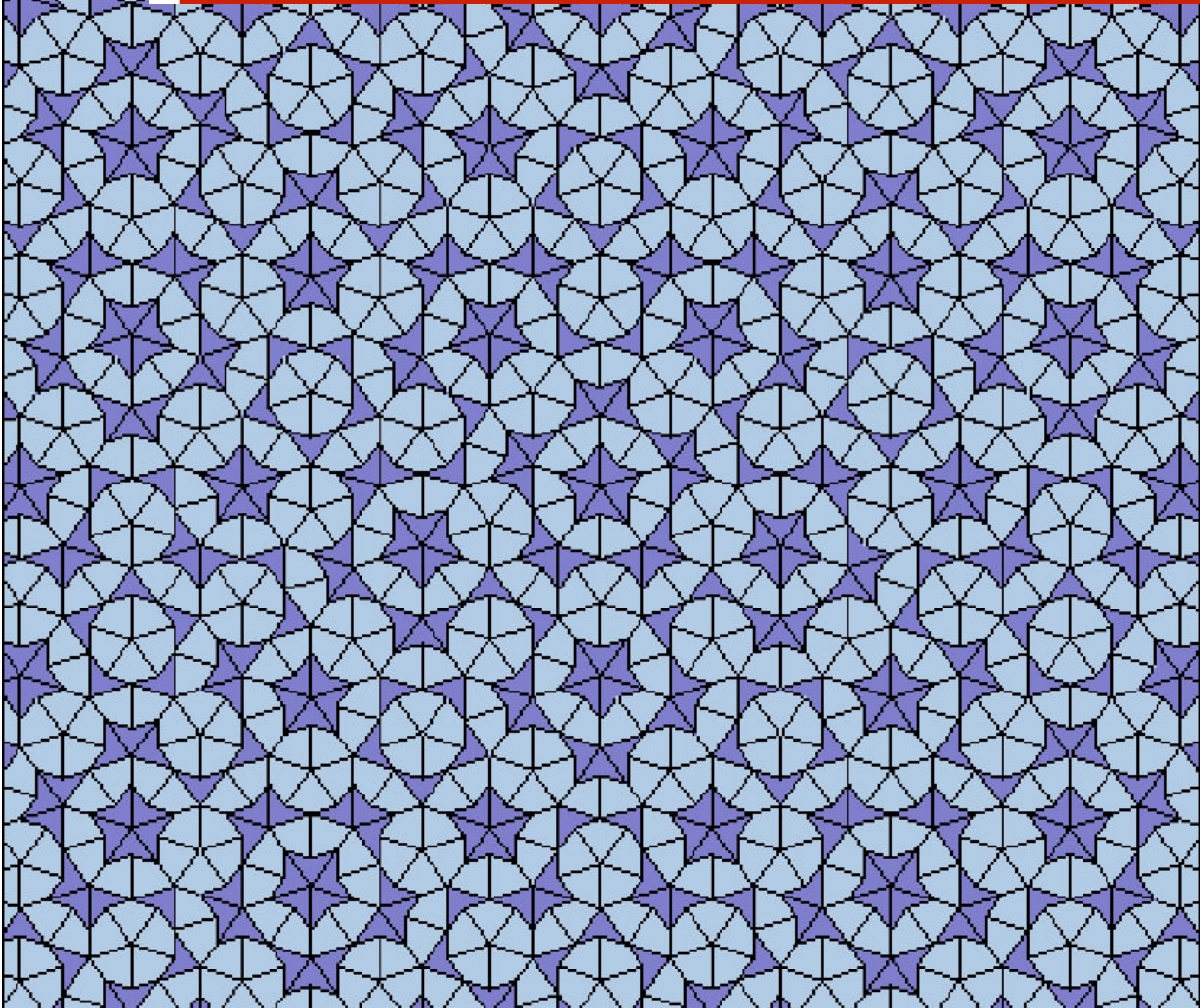


# Ordnung in einem Quasikristall



Penrose-Rhombus-Tiling

# Penrose Kite-and-Dart Tiling



# Octagonales Ammann-Beenker Tiling

